

NEW

NOUVEAU PRODUIT POUR L'USINAGE

Fraisage performant - mais éco-responsable, s'il vous plaît !

Plus de performance avec la nouvelle S-Cut
de CERATIZIT fabriquée avec 99% de matières premières d'origines
secondaires

CERATIZIT est un groupe d'ingénierie de pointe
spécialisé dans les solutions d'outillage de coupe
et de matériaux durs.

Tooling a Sustainable Future

ceratizit.com





Avec ces nouvelles fraises, la productivité augmente sensiblement et les émissions de CO₂ sont fortement réduites

Une fraise qui est à la fois fabriquée de manière durable, utilisable universellement et remarquablement performante, cela semble impossible ? Avec les S-Cut UNI et UNImax de CERATIZIT, il existe désormais une gamme d'outils qui remplit facilement toutes ces conditions grâce aux technologies de revêtement, aux géométries de coupe les plus récentes et à la nuance de carbure vert CT-GS20Y.

- ▲ **Universelles** → convient à une grande variété de matériaux
- ▲ **Développement durable** → réalisées avec un substrat de carbure de tungstène recyclé à 99% et une empreinte carbone certifiée (PCF / ECP)
- ▲ **Hautement performant** → nouvelle technologie de revêtement & optimisation de la géométrie pour plus de performance
- ▲ **Efficient** → convient à différents processus de fabrication



→ à partir de la page 8

Vous trouverez ici de plus amples informations sur le produit.

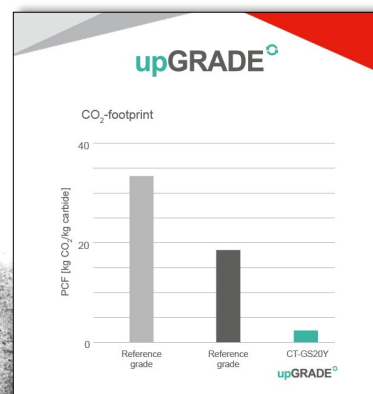
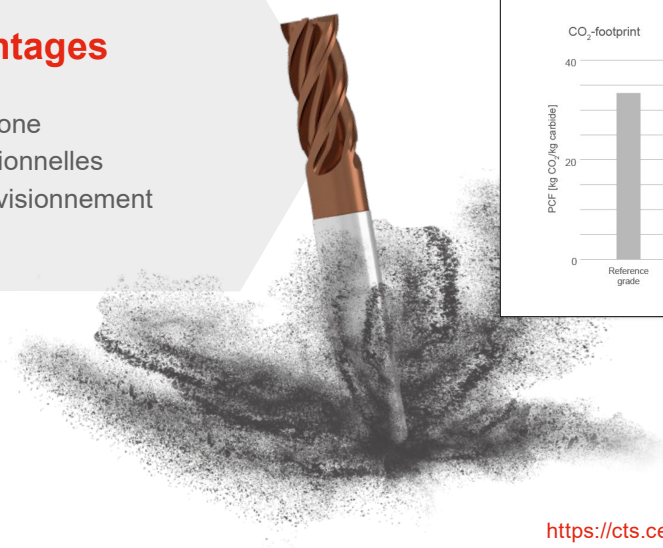
Nuance de carbure eco-responsable fabriquée avec 99 % de matières premières d'origines secondaires

La nouvelle nuance upGRADE CT-GS20Y est un carbure à grain fin à 10 % de liant avec une taille de grain de carbure de tungstène ajustée entre 0,5 et 0,8 μm . Cette nuance est utilisée de préférence pour les outils de perçage et de fraisage en carbure monobloc et constitue donc le choix optimal pour de très nombreux domaines d'application.

Et la particularité de ce CT-GS20Y ? Nous utilisons 99 % de matières premières d'origines secondaires sous forme d'outils de coupe en carbures recyclés. La fabrication de ce matériau innovant entraîne une réduction significative des rejets de CO_2 en comparaison aux carbures conventionnels. A cela s'ajoute le fait, que nous sommes méticuleux sur l'utilisation de l'énergie, sur la gestion des ressources et la logistique optimisée lors de la fabrication du CT-GS20Y.

Carbure upGRADE : Avantages

- ▲ Réduction de son empreinte carbone
- ▲ Des performances produit exceptionnelles
- ▲ Une plus grande sécurité d'approvisionnement



<https://cts.ceratizit.com/fr/g20y>

L'empreinte carbone produit (ECP / PCF) pour mesurer la durabilité

Nous souhaitons établir une norme commune sur le marché, permettant de calculer et de classer l'empreinte carbone des outils de coupe, des solutions de matériaux durs et des poudres de carbure de tungstène. La classification de l'empreinte carbone produit (ECP / PCF). Nous pourrions ainsi proposer aux clients la transparence qu'ils attendent en matière d'empreinte carbone.

PCF Classificação	
em kg CO ₂ e/kg produto	
A	0-5
B	5-15
C	15-25
D	25-35
E	35-50
F	>50

Classification PCF : Avantages

- ▲ Plus de transparence en matière d'empreinte carbone
- ▲ Visible en un coup d'œil grâce à la classification
- ▲ Option pour un certificat PCF supplémentaire permettant de calculer votre propre empreinte carbone



<https://cts.ceratizit.com/fr/pcf>

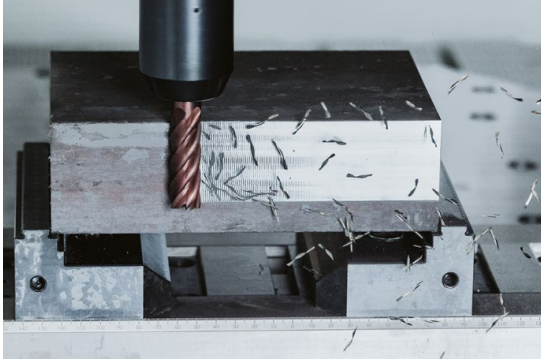
Vaste gamme de produits pour différentes applications dans diverses matières

L'usinage des matériaux les plus divers implique de s'adapter en permanence à de nouveaux défis. La solution : des fraises universelles qui peuvent s'attaquer aussi bien aux aciers qu'aux aciers inoxydables ou aux matériaux de fonderie. De plus en plus, l'aspect du développement durable vient s'ajouter à l'objectif d'efficacité des processus. La gamme de fraises carbure monobloc S-Cut en substrat upGRADE de CERATIZIT concilie les deux grâce à un carbure particulièrement durable.

Résumé rapide des avantages S-Cut :

- ▲ Carbure de tungstène CT-GS20Y avec l'empreinte carbone la plus faible de sa catégorie (y compris le certificat ECP / PCF)
- ▲ Pas d'hélice variable pour un fonctionnement très silencieux et une évacuation optimale des copeaux
- ▲ Queue HB pour une transmission optimale des efforts (queue HA/HB sur S-Cut UNImax)
- ▲ Géométrie de coupe spéciale pour la S-Cut UNImax, conçue pour un enlèvement de copeaux maximal
- ▲ Ame de l'outil renforcée pour une répartition uniforme des forces
- ▲ Dépouille radiale pour une stabilité maximale de l'arête de coupe
- ▲ Plat de planage frontal pour une meilleure qualité d'état de surface
- ▲ Le pas différentiel supprime les vibrations
- ▲ Code Data Matrix (DMC) gravé au laser pour un suivi sans faille de l'outil

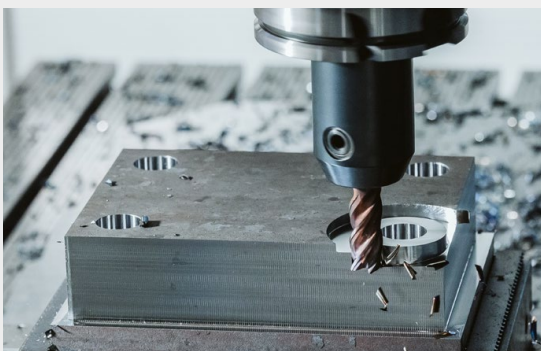




Contournage



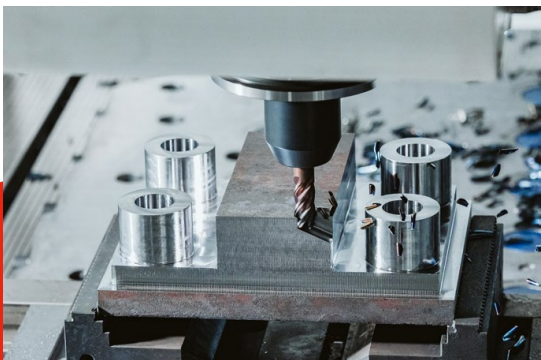
Interpolation hélicoïdale



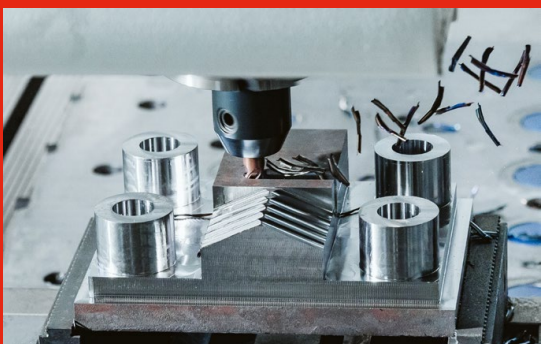
Surfaçage



Fraisage trochoïdal

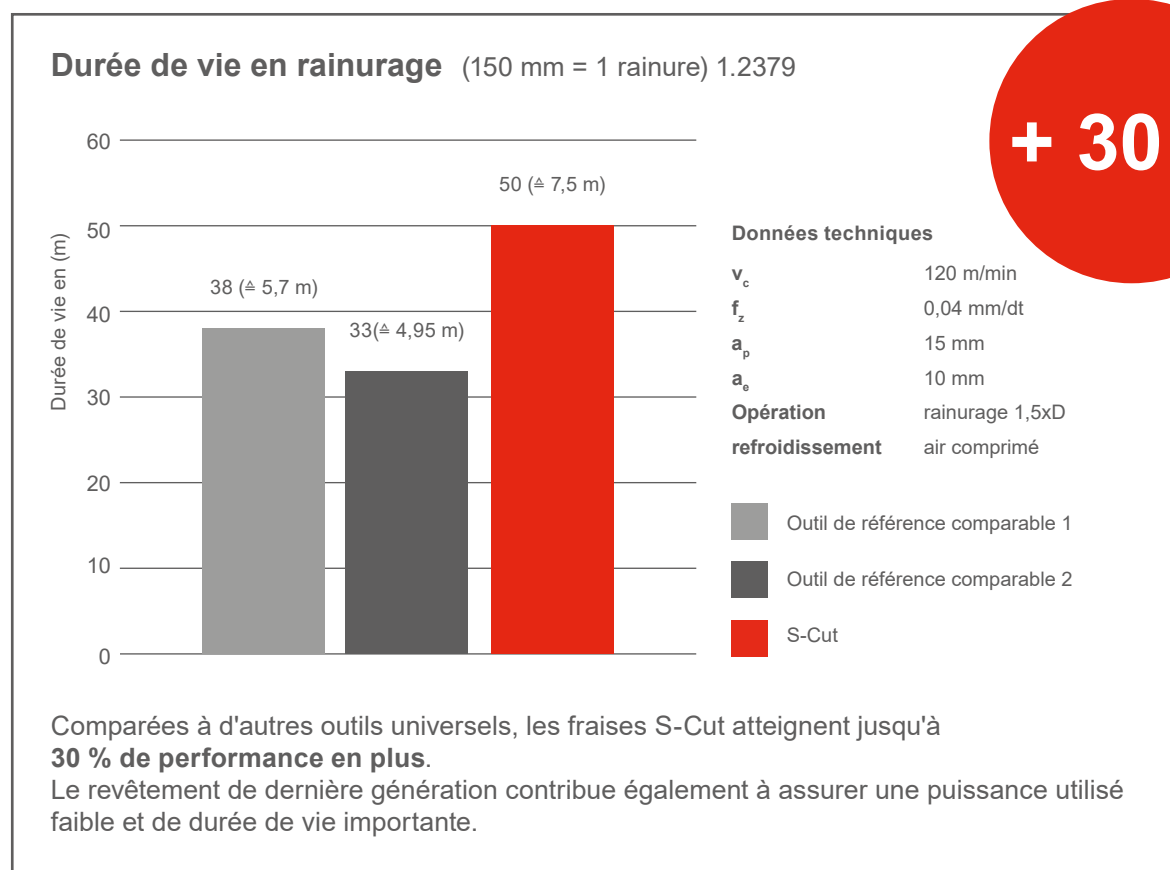


Plongée en ramping



Rainurage

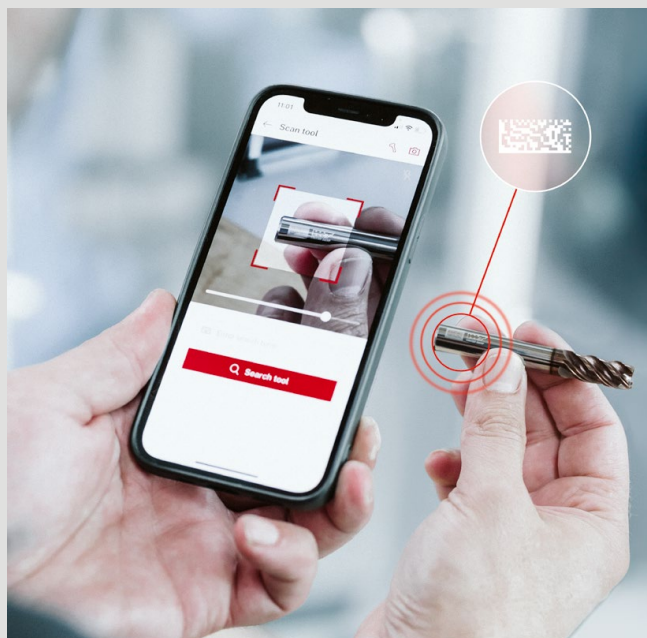
Test comparatif



Chaîne de valeur complète dans le code DMC

Infos, suivi et recherche d'outils

Tous les outils de la gamme S-Cut sont équipés d'un QR Code Data Matrix (DMC) gravé au laser, qui permet de consulter les données du « jumeau numérique ». « Ce DMC a vraiment tout pour plaire : Lorsqu'il est scanné, l'outil peut être correctement identifié et ses données techniques pertinentes sont affichées. En outre, le client peut voir si l'outil est neuf ou réaffûté et combien de fois il est déjà retourné à l'usine chez nous pour être réaffûté. Pour faciliter les commandes ultérieures, le lien vers la boutique en ligne est bien sûr indiqué »



CERAsmart
ToolCycle

Le QR Code Data Matrix (DMC) gravé au laser permet de lire de nombreuses informations sur l'outil.

Code DMC : Avantages

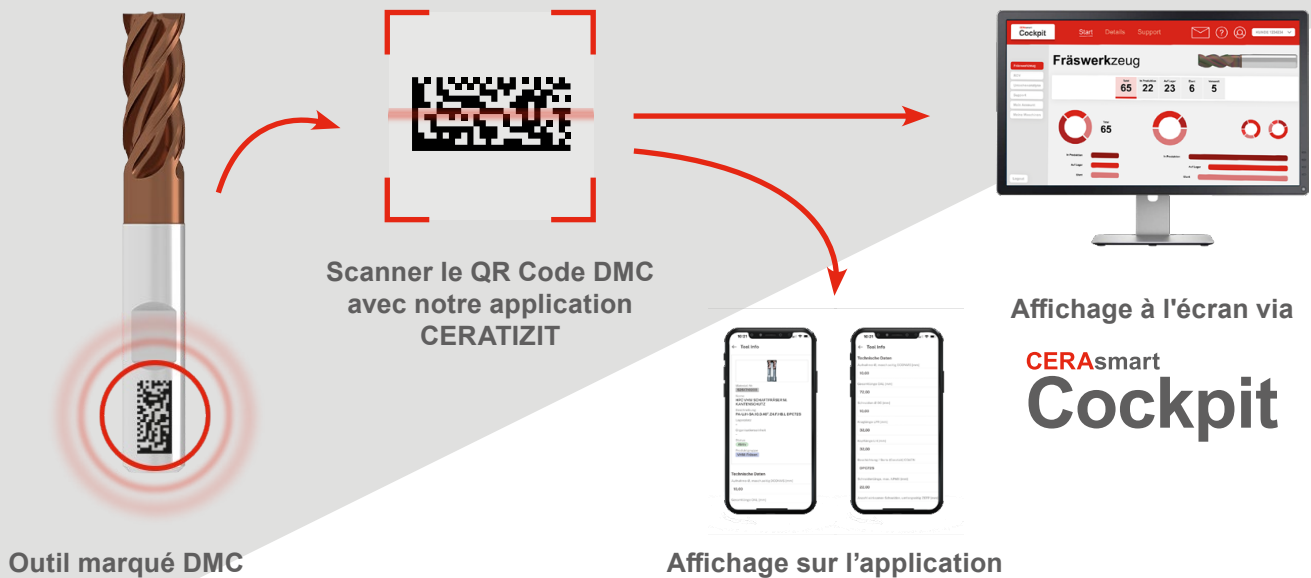
- ▲ Identification claire de l'outil
- ▲ Traçabilité du cycle de vie de l'outil
- ▲ Lien vers la boutique en ligne e-shop
- ▲ Informations de base telles que les conditions de coupe, les dimensions et les recommandations d'utilisation
- ▲ Cycles de réaffûtage
- ▲ Statut de l'outil



Scanner le code QR puis télécharger & installer facilement l'application :

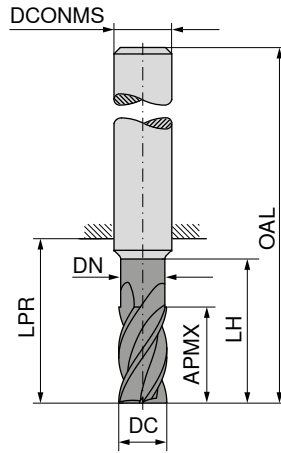
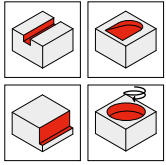
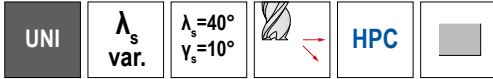


La fonction CERAsmart ToolCycle est disponible dans notre application CERATIZIT. L'application CERATIZIT peut être téléchargée directement dans l'Apple Store ou Google Play.



S-Cut – Fraises deux tailles

la fraise éco-responsable à forte productivité pour l'usinage universel



NEW
DPC72S

upGRADE

DRAGONSKIN



≈DIN 6527



52 515 ...

DC ₁₈ mm	APMX mm	DN mm	LH mm	LPR mm	OAL mm	DCONMS _{h6} mm	ZEFP
3	8	2,8	15,0	21	57	6	4
4	11	3,8	16,5	21	57	6	4
5	13	4,8	18,5	21	57	6	4
6	13	5,5	21,0	21	57	6	4
8	19	7,5	27,0	27	63	8	4
10	22	9,5	32,0	32	72	10	4
12	26	11,5	38,0	38	83	12	4
16	36	15,5	44,0	44	92	16	4
20	38	19,5	54,0	54	104	20	4

EUR

V0

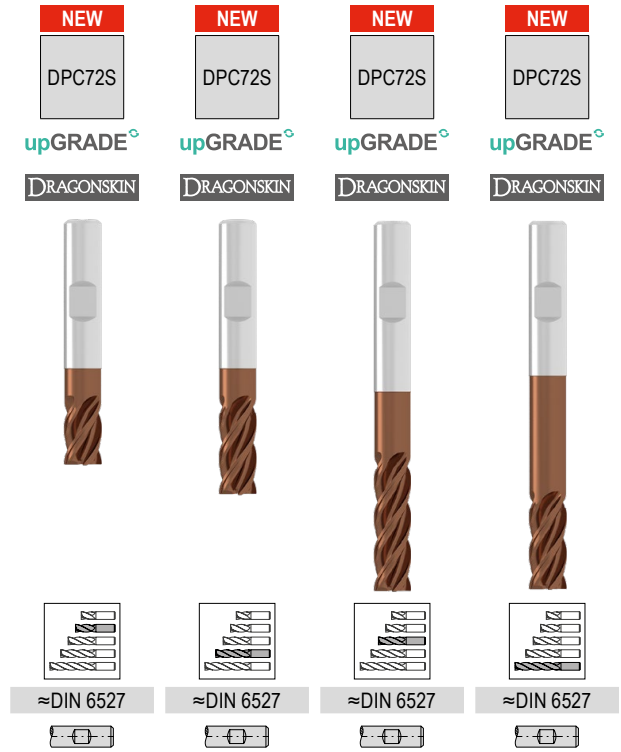
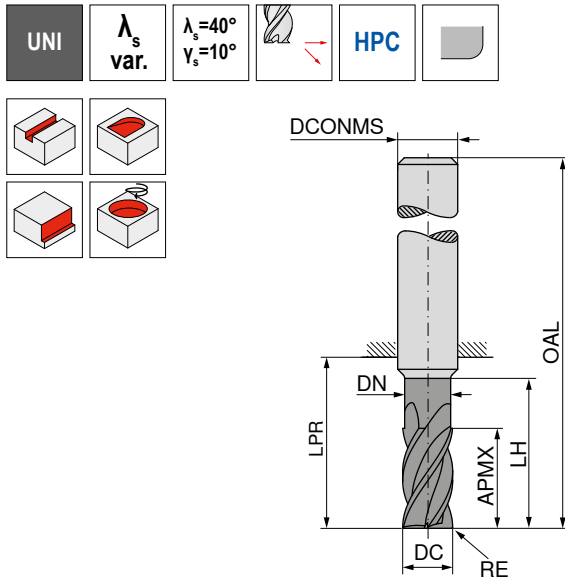
60,64	03200
60,64	04200
60,64	05200
60,64	06200
81,39	08200
115,46	10200
160,73	12200
260,26	16200
400,40	20200

P	●
M	●
K	●
N	○
S	○
H	
O	

→ v_c/f_z Page 14+15

S-Cut – Fraises deux tailles rayonnées

la fraise éco-responsable à forte productivité pour l'usinage universel



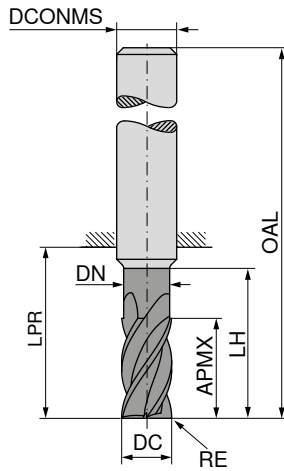
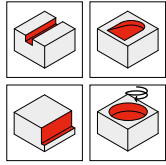
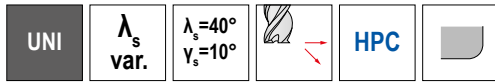
DC _{r6} mm	RE mm	APMX mm	DN mm	LH mm	LPR mm	OAL mm	DCONMS _{h6} mm	ZEFP
3	0,10	6	2,8	12,0	18	54	6	4
3	0,10	8	2,8	15,0	21	57	6	4
4	0,13	8	3,8	13,5	18	54	6	4
4	0,13	11	3,8	16,5	21	57	6	4
5	0,18	9	4,8	15,5	18	54	6	4
5	0,18	13	4,8	18,5	21	57	6	4
5	0,18	22	4,8	24,5	27	63	6	4
6	0,20	10	5,5	18,0	18	54	6	4
6	0,20	13	5,5	21,0	21	57	6	4
6	0,20	13	5,5	42,0	44	80	6	4
6	0,20	22	5,5	27,0	27	63	6	4
8	0,20	12	7,5	22,0	22	58	8	4
8	0,20	19	7,5	27,0	27	63	8	4
8	0,20	21	7,5	62,0	64	100	8	4
8	0,20	28	7,5	36,0	44	80	8	4
10	0,30	14	9,5	26,0	26	66	10	4
10	0,30	22	9,5	32,0	32	72	10	4
10	0,30	22	9,5	58,0	60	100	10	4
10	0,30	33	9,5	54,0	60	100	10	4
12	0,30	16	11,5	28,0	28	73	12	4
12	0,30	26	11,5	38,0	38	83	12	4
12	0,30	26	11,5	73,0	75	120	12	4
12	0,30	42	11,5	54,0	55	100	12	4
14	0,30	18	13,5	30,0	30	75	14	4
14	0,30	26	13,5	38,0	38	83	14	4
14	0,30	48	13,5	54,0	55	100	14	4
16	0,40	22	15,5	34,0	34	82	16	4
16	0,40	36	15,5	44,0	44	92	16	4
16	0,40	36	15,5	100,0	102	150	16	4
16	0,40	53	15,5	84,0	102	150	16	4
20	0,50	26	19,5	42,0	42	92	20	4
20	0,50	38	19,5	54,0	54	104	20	4
20	0,50	38	19,5	100,0	100	150	20	4
20	0,50	68	19,5	84,0	100	150	20	4

52 516 ...	52 517 ...	52 518 ...	52 519 ...
EUR V0	EUR V0	EUR V0	EUR V0
50,10 03100			
50,10 04100	60,64 03200		
50,10 05100	60,64 04200		
	60,64 05200	73,82 05300	
50,10 06100			
	60,64 06200		92,75 06400
		73,82 06300	
68,03 08100	81,39 08200		109,73 08400
		90,81 08300	
92,75 10100	115,46 10200		136,27 10400
		117,28 10300	
138,09 12100	160,73 12200		169,83 12400
		151,52 12300	
176,31 14100	207,48 14200	169,83 14300	
			296,43 16400
221,02 16100	260,26 16200	278,46 16300	
			420,31 20400
344,44 20100	400,40 20200	400,40 20300	

P	●	●	●	●
M	●	●	●	●
K	●	●	●	●
N	○	○	○	○
S	○	○	○	○
H				
O				

S-Cut – Fraises deux tailles rayonnées

la fraise éco-responsable à forte productivité pour l'usinage universel



NEW
DPC72S

upGRADE

DRAGONSKIN



≈DIN 6527



52 520 ...

DC ₁₈	RE	APMX	DN	LH	LPR	OAL	DCONMS _{H6}	ZEFP
mm	mm	mm	mm	mm	mm	mm	mm	
3	0,25	8	2,8	15,0	21	57	6	4
3	0,50	8	2,8	15,0	21	57	6	4
3	1,00	8	2,8	15,0	21	57	6	4
4	0,25	11	3,8	16,5	21	57	6	4
4	0,50	11	3,8	16,5	21	57	6	4
4	1,00	11	3,8	16,5	21	57	6	4
5	0,50	13	4,8	18,5	21	57	6	4
5	1,00	13	4,8	18,5	21	57	6	4
5	1,50	13	4,8	18,5	21	57	6	4
6	0,50	13	5,5	21,0	21	57	6	4
6	0,80	13	5,5	21,0	21	57	6	4
6	1,00	13	5,5	21,0	21	57	6	4
6	1,50	13	5,5	21,0	21	57	6	4
6	2,00	13	5,5	21,0	21	57	6	4
8	0,50	19	7,5	27,0	27	63	8	4
8	0,80	19	7,5	27,0	27	63	8	4
8	1,00	19	7,5	27,0	27	63	8	4
8	1,50	19	7,5	27,0	27	63	8	4
8	2,00	19	7,5	27,0	27	63	8	4
10	0,50	22	9,5	32,0	32	72	10	4
10	1,00	22	9,5	32,0	32	72	10	4
10	1,50	22	9,5	32,0	32	72	10	4
10	1,60	22	9,5	32,0	32	72	10	4
10	2,00	22	9,5	32,0	32	72	10	4
12	0,50	26	11,5	38,0	38	83	12	4
12	1,00	26	11,5	38,0	38	83	12	4
12	1,50	26	11,5	38,0	38	83	12	4
12	1,60	26	11,5	38,0	38	83	12	4
12	2,00	26	11,5	38,0	38	83	12	4
12	3,00	26	11,5	38,0	38	83	12	4
16	1,00	36	15,5	44,0	44	92	16	4
16	1,50	36	15,5	44,0	44	92	16	4
16	1,60	36	15,5	44,0	44	92	16	4
16	2,00	36	15,5	44,0	44	92	16	4
16	2,50	36	15,5	44,0	44	92	16	4
16	3,00	36	15,5	44,0	44	92	16	4
20	1,00	38	19,5	54,0	54	104	20	4
20	1,50	38	19,5	54,0	54	104	20	4
20	2,00	38	19,5	54,0	54	104	20	4
20	2,50	38	19,5	54,0	54	104	20	4
20	3,00	38	19,5	54,0	54	104	20	4
20	4,00	38	19,5	54,0	54	104	20	4

EUR
V0

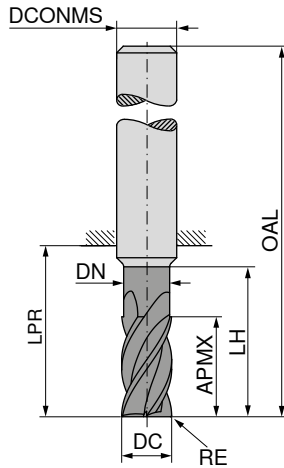
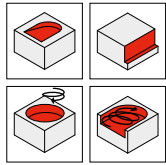
60,64	03203
60,64	03205
60,64	03210
60,64	04203
60,64	04205
60,64	04210
60,64	05205
60,64	05210
60,64	05215
60,64	06205
60,64	06208
60,64	06210
60,64	06215
60,64	06220
81,39	08205
81,39	08208
81,39	08210
81,39	08215
81,39	08220
115,46	10205
115,46	10210
115,46	10215
115,46	10216
115,46	10220
160,73	12205
160,73	12210
160,73	12215
160,73	12216
160,73	12220
160,73	12230
260,26	16210
260,26	16215
260,26	16216
260,26	16220
260,26	16225
260,26	16230
400,40	20210
400,40	20215
400,40	20220
400,40	20225
400,40	20230
400,40	20240

P	●
M	●
K	●
N	○
S	○
H	
O	

S-Cut – Fraises deux tailles rayonnées

la fraise éco-responsable à forte productivité pour l'usinage universel

- ▲ Adaptée au fraisage trochoïdal
- ▲ avec brise-copeaux
- ▲ Profondeur de coupe: 3 x DC



NEW

DPC72S

upGRADE

DRAGONSKIN



≈DIN 6527



52 521 ...

EUR
V0

DC ₁₈ mm	RE mm	APMX mm	DN mm	LH mm	LPR mm	OAL mm	DCONMS _{H6} mm	ZEPF	
6	0,12	18	5,5	25	26	62	6	5	89,96 06200
8	0,16	24	7,5	30	32	68	8	5	119,10 08200
10	0,20	30	9,5	35	40	80	10	5	151,52 10200
12	0,24	36	11,5	45	48	93	12	5	199,40 12200
14	0,28	42	13,5	52	56	100	14	5	265,10 14200
16	0,32	48	15,5	55	60	108	16	5	341,02 16200
18	0,36	54	17,5	67	72	120	18	5	458,20 18200
20	0,40	60	19,5	70	76	126	20	5	537,24 20200

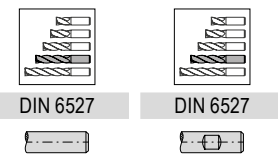
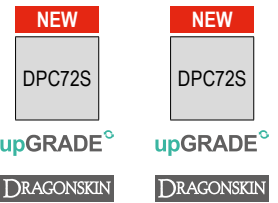
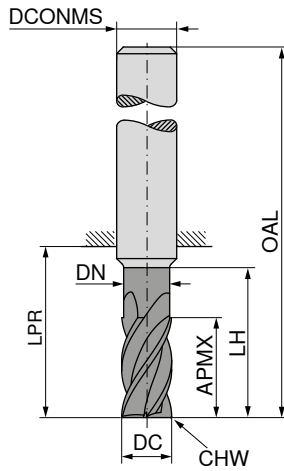
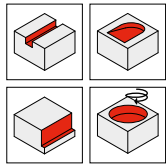
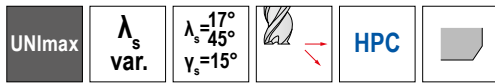
P	●
M	●
K	●
N	○
S	○
H	
O	

→ v_c/f_z Page 20+21

S-Cut – Fraises deux tailles

la fraise éco-responsable à forte productivité pour l'usinage universel

▲ Spécialement conçue pour les gros volume copeaux



DC ₁₈ mm	APMX mm	DN mm	LH mm	LPR mm	OAL mm	DCONMS _{h6} mm	CHW mm	ZEPF
3	8	2,8	13	21	57	6	0,1	4
4	11	3,8	17	21	57	6	0,1	4
5	13	4,8	19	21	57	6	0,1	4
6	13	5,8	19	21	57	6	0,1	4
8	21	7,7	25	27	63	8	0,2	4
10	22	9,7	30	32	72	10	0,2	4
12	26	11,6	36	38	83	12	0,3	4
14	26	13,6	36	38	83	14	0,3	4
16	36	15,5	42	44	92	16	0,3	4
18	36	17,5	42	44	92	18	0,3	4
20	41	19,5	52	54	104	20	0,3	4

52 522 ...		52 523 ...	
EUR		EUR	
V0/5A		V0/5A	
56,61	03200	56,61	03200
56,61	04200	56,61	04200
56,61	05200	56,61	05200
56,61	06200	56,61	06200
76,32	08200	76,32	08200
111,69	10200	111,69	10200
142,74	12200	142,74	12200
197,27	14200	197,27	14200
322,02	16200	322,02	16200
422,42	18200	422,42	18200
439,10	20200	439,10	20200

P	●	●
M	●	●
K	●	●
N	○	○
S		
H		
O		

→ v_c/f_z Page 22+23

Exemples de matières

	Sous-groupe de matières	Index	Composition / Structure / Traitement thermique	Résistance N/mm ² / HB / HRC	Code matière	Désignation matière	Code matière	Désignation matière	
P	Aciers non alliés	P.1.1	< 0,15 % C	Recuit	420 N/mm ² / 125 HB	1.0401	C15 (XC18)	1.0570	St52-3 (E36-3)
		P.1.2	< 0,45 % C	Recuit	640 N/mm ² / 190 HB	1.1191	C45E (XC48)	1.0718	9SMnPb28 (S250Pb)
		P.1.3		Trempé revenu	840 N/mm ² / 250 HB	1.1191	C45E (XC48)	1.1181	Ck35 (XC38)
		P.1.4	< 0,75 % C	Recuit	910 N/mm ² / 270 HB	1.1223	C60R (XC60)	1.1203	Ck55 (XC55)
		P.1.5		Trempé revenu	1010 N/mm ² / 300 HB	1.1223	C60R (XC60)	1.1203	Ck55 (XC55)
	Aciers faiblement alliés	P.2.1		Recuit	610 N/mm ² / 180 HB	1.7131	16MnCr5 (16MC5)	1.7220	34CrMo4 (35CD4)
		P.2.2		Trempé revenu	930 N/mm ² / 275 HB	1.7131	16MnCr5 (16MC5)	1.2312	40CrMnMoS8-6 (40CMD8+S)
		P.2.3		Trempé revenu	1010 N/mm ² / 300 HB	1.7225	42CrMo4 (42CD4)	1.2744	57NiCrMoV7 (55NCDV7)
		P.2.4		Trempé revenu	1200 N/mm ² / 375 HB	1.7225	42CrMo4 (42CD4)	1.3505	100Cr6 (100C6)
	Aciers fortement alliés et aciers à outils	P.3.1		Recuit	680 N/mm ² / 200 HB	1.4021	X20Cr13 (Z20C13)	1.2080	X200Cr12 (Z200 C12)
		P.3.2		Durci et trempé	1100 N/mm ² / 300 HB	1.2343	X38CrMoV5 1 (Z38 CDV 5)	1.2379	X155CrVMo12-1 (Z160CDV 12)
		P.3.3		Durci et trempé	1300 N/mm ² / 400 HB	1.2343	X38CrMoV5-1 (Z38 CDV 5)	1.6359	X2NiCrMo18-8-5 (Maraging 250)
	Aciers inoxydables	P.4.1	Ferritique / martensitique	Recuit	680 N/mm ² / 200 HB	1.4016	X6Cr17 (430)	1.2316	X36CrMo17 (Z38CD17)
		P.4.2	Martensitique	Trempé revenu	1010 N/mm ² / 300 HB	1.4112	X90CrMoV18	1.4057	X20CrNi17-2 (Z20CN 17-2)
M	Aciers inoxydables	M.1.1	Austénitique / Austéno-ferritique	Traité	610 N/mm ² / 180 HB	1.4301	X5CrNi18-10 (304)	1.4571	X6CrNiMoTi17-12-2 (316Ti)
		M.2.1	Austénitique	Trempé revenu	300 HB	1.4841	X15CrNiSi25-21	1.4310	X12CrNi17-7 (Z12CN17-7)
		M.3.1	Austéno-ferritique (Duplex)		780 N/mm ² / 230 HB	1.4462	X2CrNiMoN22-5-3 (Uranus45)	1.4410	Z2CND25 07 04 Az (F53)
K	Fontes grises	K.1.1	Perlitique / ferritique		350 N/mm ² / 180 HB	0.6010	GG-10 (Ft10)	0.6025	GG-25 (Ft25)
		K.1.2	Perlitique (martensitique)		500 N/mm ² / 260 HB	0.6030	GG-30 (Ft30)	0.6040	GG-40 (Ft40)
	Fontes à graphite sphéroïdal	K.2.1	Ferritique		540 N/mm ² / 160 HB	0.7040	GGG-40 (FGS400-12)	0.7060	GGG-60 (FGS600-3)
		K.2.2	Perlitique		845 N/mm ² / 250 HB	0.7070	GGG-70 (FGS700-2)	0.7080	GGG-80 (FGS800-2)
	Fontes malléables	K.3.1	Ferritique		440 N/mm ² / 130 HB	0.8035	GTW-35-04	0.8045	GTW-45
		K.3.2	Perlitique		780 N/mm ² / 230 HB	0.8165	GTS-65-02	0.8170	GTS-70-02
N	Alliages d'aluminium corroyé	N.1.1	Non durcissable		60 HB	3.0255	Al99.5 (1050A)	3.3315	AlMg1 (5005)
		N.1.2	Durcissable	Vieilli	340 N/mm ² / 100 HB	3.1355	AlCuMg2 (2024)	3.4365	AlZnMgCu1.5 (7075)
	Alliages d'aluminium de fonderie	N.2.1	≤ 12 % Si, non durcissable		250 N/mm ² / 75 HB	3.2581	G-AlSi12	3.2163	G-AlSi9Cu3
		N.2.2	≤ 12 % Si, durcissable	Vieilli	300 N/mm ² / 90 HB	3.2134	G-AlSi5Cu1Mg	3.2373	G-AlSi9Mg
		N.2.3	> 12 % Si, non durcissable		440 N/mm ² / 130 HB		G-AlSi17Cu4Mg		G-AlSi18CuNiMg
	Cuivre et alliages de cuivre (Bronze, laiton)	N.3.1	Laitons à copeaux courts, PB > 1 %		375 N/mm ² / 110 HB	2.0380	CuZn39Pb2 (Ms58)	2.0410	CuZn44Pb2
		N.3.2	Alliages CuZn, CuSnZn		300 N/mm ² / 90 HB	2.0331	CuZn15	2.4070	CuZn28Sn1As
		N.3.3	CuSn, cuivre électrolytique		340 N/mm ² / 100 HB	2.0060	E-Cu57	2.0590	CuZn40Fe
Alliages de magnésium	N.4.1	Magnésium et alliages de magnésium		70 HB	3.5612	MgAlZn	3.5312	MgAl3Zn	
S	Alliages résistants à la chaleur	S.1.1	Base Fe	Recuit	680 N/mm ² / 200 HB	1.4864	X12NiCrSi 36-16	1.4865	G-X40NiCrSi38-18
		S.1.2		Vieilli	950 N/mm ² / 280 HB	1.4980	X6NiCrTiMoVB25-15-2	1.4876	X10NiCrAlTi32-20
		S.2.1	Base Ni ou Cr	Recuit	840 N/mm ² / 250 HB	2.4631	NiCr20TiAl (Nimonic80A)	3.4856	NiCr22Mo9Nb
		S.2.2		Vieilli	1180 N/mm ² / 350 HB	2.4668	NiCr19Nb5Mo3 (Inconel 718)	2.4955	NiFe25Cr20NbTi
		S.2.3		De fonderie	1080 N/mm ² / 320 HB	2.4765	CoCr20W15Ni	1.3401	G-X120Mn12
	Alliages de titane	S.3.1	Titane pur		400 N/mm ²	3.7025	Ti99,8	3.7034	Ti99,7
		S.3.2	Alliages Alpha + Beta	Vieilli	1050 N/mm ² / 320 HB	3.7165	TiAl6V4	Ti-6246	Ti-6Al-2Sn-4Zr-6Mo
S.3.3	Alliages Beta		1400 N/mm ² / 410 HB	Ti555.3	Ti-5Al-5V-5Mo-3Cr	R56410	Ti-10V-2Fe-3Al		
H	Aciers trempés	H.1.1		Durci et trempé	46-55 HRC				
		H.1.2		Durci et trempé	56-60 HRC				
		H.1.3		Durci et trempé	61-65 HRC				
		H.1.4		Durci et trempé	66-70 HRC				
	Aciers frittés	H.2.1		De fonderie	400 HB				
	Fontes trempées	H.3.1		Durci et trempé	55 HRC				
O	Matériaux non métalliques	O.1.1	Plastiques, duroplastiques		≤ 150 N/mm ²				
		O.1.2	Plastiques, thermoplastiques		≤ 100 N/mm ²				
		O.2.1	Matières renforcées par fibres d'aramide		≤ 1000 N/mm ²				
		O.2.2	Matières renforcées par fibres de carbone ou de verre		≤ 1000 N/mm ²				
		O.3.1	Graphite						

* Résistance à la
traction

Conditions de coupe – S-Cut UNI

Index	Type court		Type long		52 515..., 52 516..., 52 517..., 52 520...																					
	v _c (m/min)	a _{p max.} x DC	v _c (m/min)	a _{p max.} x DC	Ø DC (mm) =																					
					3			4			5			6			8									
	a _e			a _e			a _e			a _e			a _e			a _e										
0,1-0,2 x DC			0,3-0,4 x DC			0,6-1,0 x DC			0,1-0,2 x DC			0,3-0,4 x DC			0,6-1,0 x DC			0,1-0,2 x DC			0,3-0,4 x DC			0,6-1,0 x DC		
				f _z (mm/dt)																						
P.1.1	220	1,0	220	1,5	0,034	0,028	0,020	0,043	0,036	0,025	0,055	0,046	0,032	0,065	0,054	0,038	0,088	0,073	0,051							
P.1.2	210	1,0	210	1,5	0,034	0,028	0,020	0,043	0,036	0,025	0,055	0,046	0,032	0,065	0,054	0,038	0,088	0,073	0,051							
P.1.3	210	1,0	210	1,5	0,034	0,028	0,020	0,043	0,036	0,025	0,055	0,046	0,032	0,065	0,054	0,038	0,088	0,073	0,051							
P.1.4	200	1,0	200	1,5	0,034	0,028	0,020	0,043	0,036	0,025	0,055	0,046	0,032	0,065	0,054	0,038	0,088	0,073	0,051							
P.1.5	200	1,0	200	1,5	0,034	0,028	0,020	0,043	0,036	0,025	0,055	0,046	0,032	0,065	0,054	0,038	0,088	0,073	0,051							
P.2.1	210	1,0	210	1,5	0,034	0,028	0,020	0,043	0,036	0,025	0,055	0,046	0,032	0,065	0,054	0,038	0,088	0,073	0,051							
P.2.2	200	1,0	200	1,5	0,025	0,021	0,015	0,035	0,029	0,020	0,046	0,038	0,027	0,056	0,047	0,033	0,076	0,063	0,044							
P.2.3	190	1,0	190	1,5	0,034	0,028	0,020	0,043	0,036	0,025	0,055	0,046	0,032	0,065	0,054	0,038	0,088	0,073	0,051							
P.2.4	180	1,0	180	1,5	0,025	0,021	0,015	0,035	0,029	0,020	0,046	0,038	0,027	0,056	0,047	0,033	0,076	0,063	0,044							
P.3.1	190	1,0	190	1,5	0,034	0,028	0,020	0,043	0,036	0,025	0,055	0,046	0,032	0,065	0,054	0,038	0,088	0,073	0,051							
P.3.2	180	1,0	180	1,5	0,034	0,028	0,020	0,043	0,036	0,025	0,055	0,046	0,032	0,065	0,054	0,038	0,088	0,073	0,051							
P.3.3	150	1,0	150	1,5	0,034	0,028	0,020	0,043	0,036	0,025	0,055	0,046	0,032	0,065	0,054	0,038	0,088	0,073	0,051							
P.4.1	100	1,0	100	1,5	0,016	0,013	0,009	0,022	0,018	0,013	0,029	0,024	0,017	0,035	0,029	0,020	0,049	0,041	0,029							
P.4.2	95	1,0	95	1,5	0,016	0,013	0,009	0,022	0,018	0,013	0,029	0,024	0,017	0,035	0,029	0,020	0,049	0,041	0,029							
M.1.1	100	1,0	100	1,5	0,016	0,013	0,009	0,022	0,018	0,013	0,029	0,024	0,017	0,035	0,029	0,020	0,049	0,041	0,029							
M.2.1	90	1,0	90	1,5	0,016	0,013	0,009	0,022	0,018	0,013	0,029	0,024	0,017	0,035	0,029	0,020	0,049	0,041	0,029							
M.3.1	85	1,0	85	1,5	0,016	0,013	0,009	0,022	0,018	0,013	0,029	0,024	0,017	0,035	0,029	0,020	0,049	0,041	0,029							
K.1.1	230	1,0	230	1,5	0,042	0,035	0,025	0,058	0,048	0,034	0,072	0,060	0,042	0,088	0,073	0,051	1,176	0,980	0,686							
K.1.2	210	1,0	210	1,5	0,042	0,035	0,025	0,058	0,048	0,034	0,072	0,060	0,042	0,088	0,073	0,051	1,176	0,980	0,686							
K.2.1	220	1,0	220	1,5	0,034	0,028	0,020	0,043	0,036	0,025	0,055	0,046	0,032	0,065	0,054	0,038	0,088	0,073	0,051							
K.2.2	200	1,0	200	1,5	0,034	0,028	0,020	0,043	0,036	0,025	0,055	0,046	0,032	0,065	0,054	0,038	0,088	0,073	0,051							
K.3.1	210	1,0	210	1,5	0,034	0,028	0,020	0,043	0,036	0,025	0,055	0,046	0,032	0,065	0,054	0,038	0,088	0,073	0,051							
K.3.2	190	1,0	190	1,5	0,034	0,028	0,020	0,043	0,036	0,025	0,055	0,046	0,032	0,065	0,054	0,038	0,088	0,073	0,051							
N.1.1																										
N.1.2																										
N.2.1	500	1,0	500	1,5	0,046	0,038	0,027	0,061	0,051	0,036	0,076	0,063	0,044	0,091	0,076	0,053	1,120	0,100	0,070							
N.2.2	480	1,0	480	1,5	0,044	0,037	0,026	0,060	0,050	0,035	0,074	0,062	0,043	0,090	0,075	0,053	1,188	0,990	0,693							
N.2.3	420	1,0	420	1,5	0,044	0,037	0,026	0,060	0,050	0,035	0,074	0,062	0,043	0,090	0,075	0,053	1,188	0,990	0,693							
N.3.1	340	1,0	340	1,5	0,042	0,035	0,025	0,058	0,048	0,034	0,072	0,060	0,042	0,088	0,073	0,051	1,176	0,980	0,686							
N.3.2	340	1,0	340	1,5	0,042	0,035	0,025	0,058	0,048	0,034	0,072	0,060	0,042	0,088	0,073	0,051	1,176	0,980	0,686							
N.3.3	270	1,0	270	1,5	0,042	0,035	0,025	0,058	0,048	0,034	0,072	0,060	0,042	0,088	0,073	0,051	1,176	0,980	0,686							
N.4.1																										
S.1.1	30	1,0	30	1,5	0,013	0,011	0,008	0,018	0,015	0,011	0,023	0,019	0,013	0,028	0,023	0,016	0,037	0,031	0,022							
S.1.2	30	1,0	30	1,5	0,013	0,011	0,008	0,018	0,015	0,011	0,023	0,019	0,013	0,028	0,023	0,016	0,037	0,031	0,022							
S.2.1	30	1,0	30	1,5	0,013	0,011	0,008	0,018	0,015	0,011	0,023	0,019	0,013	0,028	0,023	0,016	0,037	0,031	0,022							
S.2.2	30	1,0	30	1,5	0,013	0,011	0,008	0,018	0,015	0,011	0,023	0,019	0,013	0,028	0,023	0,016	0,037	0,031	0,022							
S.2.3	30	1,0	30	1,5	0,013	0,011	0,008	0,018	0,015	0,011	0,023	0,019	0,013	0,028	0,023	0,016	0,037	0,031	0,022							
S.3.1	80	1,0	80	1,5	0,025	0,021	0,015	0,035	0,029	0,020	0,046	0,038	0,027	0,056	0,047	0,033	0,076	0,063	0,044							
S.3.2	50	1,0	50	1,5	0,016	0,013	0,009	0,022	0,018	0,013	0,029	0,024	0,017	0,035	0,029	0,020	0,049	0,041	0,029							
S.3.3																										
H.1.1																										
H.1.2																										
H.1.3																										
H.1.4																										
H.2.1																										
H.3.1																										
O.1.1																										
O.1.2																										
O.2.1																										
O.2.2																										
O.3.1																										


1 Angles de plongée pour le ramping et la plongée hélicoïdale :

- Ø 3 = 2° Ø 10 = 5°
- Ø 4 = 2° Ø 12 = 8°
- Ø 5 = 2,5° Ø 14 = 8°
- Ø 6 = 3° Ø 16 = 10°
- Ø 8 = 4° Ø 20 = 15°

Index	52 515..., 52 516..., 52 517..., 52 520...															● 1er choix ○ Utilisation possible		
	Ø DC (mm) =															Emulsion	Air	MMS
	10			12			14			16			20					
	a_e 0,1-0,2 x DC	a_s 0,3-0,4 x DC	a_e 0,6-1,0 x DC	a_e 0,1-0,2 x DC	a_s 0,3-0,4 x DC	a_e 0,6-1,0 x DC	a_e 0,1-0,2 x DC	a_s 0,3-0,4 x DC	a_e 0,6-1,0 x DC	a_e 0,1-0,2 x DC	a_s 0,3-0,4 x DC	a_e 0,6-1,0 x DC	a_e 0,1-0,2 x DC	a_s 0,3-0,4 x DC	a_e 0,6-1,0 x DC			
f_t (mm/dt)																		
P.1.1	0,109	0,091	0,064	0,132	0,110	0,077	0,144	0,120	0,084	0,154	0,128	0,090	0,168	0,140	0,098	●	●	○
P.1.2	0,109	0,091	0,064	0,132	0,110	0,077	0,144	0,120	0,084	0,154	0,128	0,090	0,168	0,140	0,098	●	●	○
P.1.3	0,109	0,091	0,064	0,132	0,110	0,077	0,144	0,120	0,084	0,154	0,128	0,090	0,168	0,140	0,098	●	●	○
P.1.4	0,109	0,091	0,064	0,132	0,110	0,077	0,144	0,120	0,084	0,154	0,128	0,090	0,168	0,140	0,098	●	●	○
P.1.5	0,109	0,091	0,064	0,132	0,110	0,077	0,144	0,120	0,084	0,154	0,128	0,090	0,168	0,140	0,098	●	●	○
P.2.1	0,109	0,091	0,064	0,132	0,110	0,077	0,144	0,120	0,084	0,154	0,128	0,090	0,168	0,140	0,098	●	●	○
P.2.2	0,095	0,079	0,055	0,114	0,095	0,067	0,120	0,100	0,070	0,130	0,108	0,076	0,144	0,120	0,084	●	●	○
P.2.3	0,109	0,091	0,064	0,132	0,110	0,077	0,144	0,120	0,084	0,154	0,128	0,090	0,168	0,140	0,098	●	●	○
P.2.4	0,095	0,079	0,055	0,114	0,095	0,067	0,120	0,100	0,070	0,130	0,108	0,076	0,144	0,120	0,084	●	●	○
P.3.1	0,109	0,091	0,064	0,132	0,110	0,077	0,144	0,120	0,084	0,154	0,128	0,090	0,168	0,140	0,098	●	●	○
P.3.2	0,109	0,091	0,064	0,132	0,110	0,077	0,144	0,120	0,084	0,154	0,128	0,090	0,168	0,140	0,098	●	●	○
P.3.3	0,109	0,091	0,064	0,132	0,110	0,077	0,144	0,120	0,084	0,154	0,128	0,090	0,168	0,140	0,098	●	●	○
P.4.1	0,062	0,052	0,036	0,076	0,063	0,044	0,084	0,070	0,049	0,096	0,080	0,056	0,108	0,090	0,063	●	○	
P.4.2	0,062	0,052	0,036	0,076	0,063	0,044	0,084	0,070	0,049	0,096	0,080	0,056	0,108	0,090	0,063	●	○	
M.1.1	0,062	0,052	0,036	0,076	0,063	0,044	0,084	0,070	0,049	0,096	0,080	0,056	0,108	0,090	0,063	●	○	
M.2.1	0,062	0,052	0,036	0,076	0,063	0,044	0,084	0,070	0,049	0,096	0,080	0,056	0,108	0,090	0,063	●	○	
M.3.1	0,062	0,052	0,036	0,076	0,063	0,044	0,084	0,070	0,049	0,096	0,080	0,056	0,108	0,090	0,063	●	○	
K.1.1	0,148	0,123	0,086	0,180	0,150	0,105	0,204	0,170	0,119	0,216	0,180	0,126	0,240	0,200	0,140	●	●	●
K.1.2	0,148	0,123	0,086	0,180	0,150	0,105	0,204	0,170	0,119	0,216	0,180	0,126	0,240	0,200	0,140	●	●	●
K.2.1	0,108	0,090	0,063	0,132	0,110	0,077	0,156	0,130	0,091	0,168	0,140	0,098	0,192	0,160	0,112	●	●	●
K.2.2	0,108	0,090	0,063	0,132	0,110	0,077	0,156	0,130	0,091	0,168	0,140	0,098	0,192	0,160	0,112	●	●	●
K.3.1	0,108	0,090	0,063	0,132	0,110	0,077	0,156	0,130	0,091	0,168	0,140	0,098	0,192	0,160	0,112	●	●	●
K.3.2	0,108	0,090	0,063	0,132	0,110	0,077	0,156	0,130	0,091	0,168	0,140	0,098	0,192	0,160	0,112	●	●	●
N.1.1																		
N.1.2																		
N.2.1	0,162	0,135	0,095	0,186	0,155	0,109	0,216	0,180	0,126	0,228	0,190	0,133	0,240	0,200	0,140	●	●	
N.2.2	0,156	0,130	0,091	0,180	0,150	0,105	0,210	0,175	0,123	0,222	0,185	0,130	0,234	0,195	0,137	●	●	
N.2.3	0,156	0,130	0,091	0,180	0,150	0,105	0,210	0,175	0,123	0,222	0,185	0,130	0,234	0,195	0,137	●	●	
N.3.1	0,144	0,120	0,084	0,174	0,145	0,102	0,204	0,170	0,119	0,216	0,180	0,126	0,228	0,190	0,133	●	●	
N.3.2	0,144	0,120	0,084	0,174	0,145	0,102	0,204	0,170	0,119	0,216	0,180	0,126	0,228	0,190	0,133	●	●	
N.3.3	0,144	0,120	0,084	0,174	0,145	0,102	0,204	0,170	0,119	0,216	0,180	0,126	0,228	0,190	0,133	●	●	
N.4.1																		
S.1.1	0,047	0,039	0,027	0,056	0,047	0,033	0,066	0,055	0,039	0,071	0,059	0,041	0,079	0,066	0,046	●		
S.1.2	0,047	0,039	0,027	0,056	0,047	0,033	0,066	0,055	0,039	0,071	0,059	0,041	0,079	0,066	0,046	●		
S.2.1	0,047	0,039	0,027	0,056	0,047	0,033	0,066	0,055	0,039	0,071	0,059	0,041	0,079	0,066	0,046	●		
S.2.2	0,047	0,039	0,027	0,056	0,047	0,033	0,066	0,055	0,039	0,071	0,059	0,041	0,079	0,066	0,046	●		
S.2.3	0,047	0,039	0,027	0,056	0,047	0,033	0,066	0,055	0,039	0,071	0,059	0,041	0,079	0,066	0,046	●		
S.3.1	0,095	0,079	0,055	0,114	0,095	0,067	0,132	0,110	0,077	0,137	0,114	0,080	0,144	0,120	0,084	●		
S.3.2	0,062	0,052	0,036	0,076	0,063	0,044	0,089	0,074	0,052	0,094	0,078	0,055	0,106	0,088	0,062	●		
S.3.3																		
H.1.1																		
H.1.2																		
H.1.3																		
H.1.4																		
H.2.1																		
H.3.1																		
O.1.1																		
O.1.2																		
O.2.1																		
O.2.2																		
O.3.1																		

Conditions de coupe – S-Cut UNI

Index	Type mi-longue		52 518 ...														
			Ø DC (mm) =														
			3			4			5			6			8		
			a_s 0,1–0,2 x DC	a_e 0,3–0,4 x DC	a_p 0,6–1,0 x DC	a_s 0,1–0,2 x DC	a_e 0,3–0,4 x DC	a_p 0,6–1,0 x DC	a_s 0,1–0,2 x DC	a_e 0,3–0,4 x DC	a_p 0,6–1,0 x DC	a_s 0,1–0,2 x DC	a_e 0,3–0,4 x DC	a_p 0,6–1,0 x DC	a_s 0,1–0,2 x DC	a_e 0,3–0,4 x DC	a_p 0,6–1,0 x DC
v_c (m/min)	a_p max. x DC	f_z (mm/dt)															
P.1.1	210	1,5	0,030	0,025	0,018	0,040	0,033	0,023	0,052	0,043	0,030	0,061	0,051	0,036	0,084	0,070	0,049
P.1.2	200	1,5	0,030	0,025	0,018	0,040	0,033	0,023	0,052	0,043	0,030	0,061	0,051	0,036	0,084	0,070	0,049
P.1.3	200	1,5	0,030	0,025	0,018	0,040	0,033	0,023	0,052	0,043	0,030	0,061	0,051	0,036	0,084	0,070	0,049
P.1.4	190	1,5	0,030	0,025	0,018	0,040	0,033	0,023	0,052	0,043	0,030	0,061	0,051	0,036	0,084	0,070	0,049
P.1.5	190	1,5	0,030	0,025	0,018	0,040	0,033	0,023	0,052	0,043	0,030	0,061	0,051	0,036	0,084	0,070	0,049
P.2.1	200	1,5	0,030	0,025	0,018	0,040	0,033	0,023	0,052	0,043	0,030	0,061	0,051	0,036	0,084	0,070	0,049
P.2.2	190	1,5	0,022	0,018	0,013	0,031	0,026	0,018	0,042	0,035	0,025	0,053	0,044	0,031	0,072	0,060	0,042
P.2.3	180	1,5	0,030	0,025	0,018	0,040	0,033	0,023	0,052	0,043	0,030	0,061	0,051	0,036	0,084	0,070	0,049
P.2.4	170	1,5	0,022	0,018	0,013	0,031	0,026	0,018	0,042	0,035	0,025	0,053	0,044	0,031	0,072	0,060	0,042
P.3.1	180	1,5	0,030	0,025	0,018	0,040	0,033	0,023	0,052	0,043	0,030	0,061	0,051	0,036	0,084	0,070	0,049
P.3.2	170	1,5	0,030	0,025	0,018	0,040	0,033	0,023	0,052	0,043	0,030	0,061	0,051	0,036	0,084	0,070	0,049
P.3.3	140	1,5	0,030	0,025	0,018	0,040	0,033	0,023	0,052	0,043	0,030	0,061	0,051	0,036	0,084	0,070	0,049
P.4.1	95	1,5	0,012	0,010	0,007	0,018	0,015	0,011	0,025	0,021	0,015	0,031	0,026	0,018	0,046	0,038	0,027
P.4.2	90	1,5	0,012	0,010	0,007	0,018	0,015	0,011	0,025	0,021	0,015	0,031	0,026	0,018	0,046	0,038	0,027
M.1.1	95	1,5	0,012	0,010	0,007	0,018	0,015	0,011	0,025	0,021	0,015	0,031	0,026	0,018	0,046	0,038	0,027
M.2.1	85	1,5	0,012	0,010	0,007	0,018	0,015	0,011	0,025	0,021	0,015	0,031	0,026	0,018	0,046	0,038	0,027
M.3.1	80	1,5	0,012	0,010	0,007	0,018	0,015	0,011	0,025	0,021	0,015	0,031	0,026	0,018	0,046	0,038	0,027
K.1.1	220	1,5	0,038	0,032	0,022	0,054	0,045	0,032	0,068	0,057	0,040	0,084	0,070	0,049	0,114	0,095	0,067
K.1.2	200	1,5	0,038	0,032	0,022	0,054	0,045	0,032	0,068	0,057	0,040	0,084	0,070	0,049	0,114	0,095	0,067
K.2.1	210	1,5	0,030	0,025	0,018	0,040	0,033	0,023	0,052	0,043	0,030	0,061	0,051	0,036	0,084	0,070	0,049
K.2.2	190	1,5	0,030	0,025	0,018	0,040	0,033	0,023	0,052	0,043	0,030	0,061	0,051	0,036	0,084	0,070	0,049
K.3.1	200	1,5	0,030	0,025	0,018	0,040	0,033	0,023	0,052	0,043	0,030	0,061	0,051	0,036	0,084	0,070	0,049
K.3.2	180	1,5	0,030	0,025	0,018	0,040	0,033	0,023	0,052	0,043	0,030	0,061	0,051	0,036	0,084	0,070	0,049
N.1.1																	
N.1.2																	
N.2.1	480	1,5	0,042	0,035	0,025	0,058	0,048	0,034	0,072	0,060	0,042	0,088	0,073	0,051	0,116	0,097	0,068
N.2.2	460	1,5	0,041	0,034	0,024	0,056	0,047	0,033	0,071	0,059	0,041	0,086	0,072	0,050	0,115	0,096	0,067
N.2.3	400	1,5	0,041	0,034	0,024	0,056	0,047	0,033	0,071	0,059	0,041	0,086	0,072	0,050	0,115	0,096	0,067
N.3.1	320	1,5	0,038	0,032	0,022	0,054	0,045	0,032	0,068	0,057	0,040	0,084	0,070	0,049	0,114	0,095	0,067
N.3.2	320	1,5	0,038	0,032	0,022	0,054	0,045	0,032	0,068	0,057	0,040	0,084	0,070	0,049	0,114	0,095	0,067
N.3.3	250	1,5	0,038	0,032	0,022	0,054	0,045	0,032	0,068	0,057	0,040	0,084	0,070	0,049	0,114	0,095	0,067
N.4.1																	
S.1.1	25	1,5	0,011	0,009	0,006	0,016	0,013	0,009	0,020	0,017	0,012	0,025	0,021	0,015	0,035	0,029	0,020
S.1.2	25	1,5	0,011	0,009	0,006	0,016	0,013	0,009	0,020	0,017	0,012	0,025	0,021	0,015	0,035	0,029	0,020
S.2.1	25	1,5	0,011	0,009	0,006	0,016	0,013	0,009	0,020	0,017	0,012	0,025	0,021	0,015	0,035	0,029	0,020
S.2.2	25	1,5	0,011	0,009	0,006	0,016	0,013	0,009	0,020	0,017	0,012	0,025	0,021	0,015	0,035	0,029	0,020
S.2.3	25	1,5	0,011	0,009	0,006	0,016	0,013	0,009	0,020	0,017	0,012	0,025	0,021	0,015	0,035	0,029	0,020
S.3.1	75	1,5	0,023	0,019	0,013	0,032	0,027	0,019	0,043	0,036	0,025	0,054	0,045	0,032	0,073	0,061	0,043
S.3.2	45	1,5	0,013	0,011	0,008	0,019	0,016	0,011	0,026	0,022	0,015	0,032	0,027	0,019	0,047	0,039	0,027
S.3.3																	
H.1.1																	
H.1.2																	
H.1.3																	
H.1.4																	
H.2.1																	
H.3.1																	
O.1.1																	
O.1.2																	
O.2.1																	
O.2.2																	
O.3.1																	

 Angles de plongée pour le ramping et la plongée hélicoïdale :

Ø 3 = 1°	Ø 10 = 4°
Ø 4 = 1°	Ø 12 = 6°
Ø 5 = 1,5°	Ø 14 = 6°
Ø 6 = 2°	Ø 16 = 8°
Ø 8 = 3°	Ø 20 = 10°

Index	52 518 ...															● 1er choix		
	Ø DC (mm) =															○ Utilisation possible		
	10			12			14			16			20			Emulsion	Air	MMS
	a _e 0,1-0,2 x DC	a _s 0,3-0,4 x DC	a _e 0,6-1,0 x DC	a _e 0,1-0,2 x DC	a _s 0,3-0,4 x DC	a _e 0,6-1,0 x DC	a _e 0,1-0,2 x DC	a _s 0,3-0,4 x DC	a _e 0,6-1,0 x DC	a _e 0,1-0,2 x DC	a _s 0,3-0,4 x DC	a _e 0,6-1,0 x DC	a _e 0,1-0,2 x DC	a _s 0,3-0,4 x DC	a _e 0,6-1,0 x DC			
f _t (mm/dt)																		
P.1.1	0,106	0,088	0,062	0,120	0,100	0,070	0,132	0,110	0,077	0,144	0,120	0,084	0,156	0,130	0,091	●	●	○
P.1.2	0,106	0,088	0,062	0,120	0,100	0,070	0,132	0,110	0,077	0,144	0,120	0,084	0,156	0,130	0,091	●	●	○
P.1.3	0,106	0,088	0,062	0,120	0,100	0,070	0,132	0,110	0,077	0,144	0,120	0,084	0,156	0,130	0,091	●	●	○
P.1.4	0,106	0,088	0,062	0,120	0,100	0,070	0,132	0,110	0,077	0,144	0,120	0,084	0,156	0,130	0,091	●	●	○
P.1.5	0,106	0,088	0,062	0,120	0,100	0,070	0,132	0,110	0,077	0,144	0,120	0,084	0,156	0,130	0,091	●	●	○
P.2.1	0,106	0,088	0,062	0,120	0,100	0,070	0,013	0,011	0,008	0,144	0,120	0,084	0,156	0,130	0,091	●	●	○
P.2.2	0,091	0,076	0,053	0,102	0,085	0,060	0,108	0,090	0,063	0,120	0,100	0,070	0,132	0,110	0,077	●	●	○
P.2.3	0,106	0,088	0,062	0,120	0,100	0,070	0,132	0,110	0,077	0,144	0,120	0,084	0,156	0,130	0,091	●	●	○
P.2.4	0,091	0,076	0,053	0,102	0,085	0,060	0,108	0,090	0,063	0,120	0,100	0,070	0,132	0,110	0,077	●	●	○
P.3.1	0,106	0,088	0,062	0,120	0,100	0,070	0,132	0,110	0,077	0,144	0,120	0,084	0,156	0,130	0,091	●	●	○
P.3.2	0,106	0,088	0,062	0,120	0,100	0,070	0,132	0,110	0,077	0,144	0,120	0,084	0,156	0,130	0,091	●	●	○
P.3.3	0,106	0,088	0,062	0,012	0,010	0,007	0,013	0,011	0,008	0,144	0,120	0,084	0,156	0,130	0,091	●	●	○
P.4.1	0,059	0,049	0,034	0,066	0,055	0,039	0,072	0,060	0,042	0,084	0,070	0,049	0,096	0,080	0,056	●	○	
P.4.2	0,059	0,049	0,034	0,066	0,055	0,039	0,072	0,060	0,042	0,084	0,070	0,049	0,096	0,080	0,056	●	○	
M.1.1	0,059	0,049	0,034	0,066	0,055	0,039	0,072	0,060	0,042	0,084	0,070	0,049	0,096	0,080	0,056	●	○	
M.2.1	0,059	0,049	0,034	0,066	0,055	0,039	0,072	0,060	0,042	0,084	0,070	0,049	0,096	0,080	0,056	●	○	
M.3.1	0,059	0,049	0,034	0,066	0,055	0,039	0,072	0,060	0,042	0,084	0,070	0,049	0,096	0,080	0,056	●	○	
K.1.1	0,144	0,120	0,084	0,168	0,140	0,098	0,192	0,160	0,112	0,204	0,170	0,119	0,228	0,190	0,133	●	●	●
K.1.2	0,144	0,120	0,084	0,168	0,140	0,098	0,192	0,160	0,112	0,204	0,170	0,119	0,228	0,190	0,133	●	●	●
K.2.1	0,104	0,087	0,061	0,120	0,100	0,070	0,144	0,120	0,084	0,156	0,130	0,091	0,180	0,150	0,105	●	●	●
K.2.2	0,104	0,087	0,061	0,120	0,100	0,070	0,144	0,120	0,084	0,156	0,130	0,091	0,180	0,150	0,105	●	●	●
K.3.1	0,104	0,087	0,061	0,120	0,100	0,070	0,144	0,120	0,084	0,156	0,130	0,091	0,180	0,150	0,105	●	●	●
K.3.2	0,104	0,087	0,061	0,120	0,100	0,070	0,144	0,120	0,084	0,156	0,130	0,091	0,180	0,150	0,105	●	●	●
N.1.1																		
N.1.2																		
N.2.1	0,158	0,132	0,092	0,174	0,145	0,102	0,204	0,170	0,119	0,216	0,180	0,126	0,228	0,190	0,133	●	●	
N.2.2	0,152	0,127	0,089	0,168	0,140	0,098	0,198	0,165	0,116	0,210	0,175	0,123	0,222	0,185	0,130	●	●	
N.2.3	0,152	0,127	0,089	0,017	0,014	0,010	0,198	0,165	0,116	0,210	0,175	0,123	0,222	0,185	0,130	●	●	
N.3.1	0,140	0,117	0,082	0,162	0,135	0,095	0,192	0,160	0,112	0,204	0,170	0,119	0,216	0,180	0,126	●	●	
N.3.2	0,140	0,117	0,082	0,162	0,135	0,095	0,192	0,160	0,112	0,204	0,170	0,119	0,216	0,180	0,126	●	●	
N.3.3	0,140	0,117	0,082	0,162	0,135	0,095	0,192	0,160	0,112	0,204	0,170	0,119	0,216	0,180	0,126	●	●	
N.4.1																		
S.1.1	0,044	0,037	0,026	0,054	0,045	0,032	0,064	0,053	0,037	0,068	0,057	0,040	0,077	0,064	0,045	●		
S.1.2	0,044	0,037	0,026	0,054	0,045	0,032	0,064	0,053	0,037	0,068	0,057	0,040	0,077	0,064	0,045	●		
S.2.1	0,044	0,037	0,026	0,054	0,045	0,032	0,064	0,053	0,037	0,068	0,057	0,040	0,077	0,064	0,045	●		
S.2.2	0,044	0,037	0,026	0,054	0,045	0,032	0,064	0,053	0,037	0,068	0,057	0,040	0,077	0,064	0,045	●		
S.2.3	0,044	0,037	0,026	0,054	0,045	0,032	0,064	0,053	0,037	0,068	0,057	0,040	0,077	0,064	0,045	●		
S.3.1	0,092	0,077	0,054	0,110	0,092	0,064	0,120	0,100	0,070	0,134	0,112	0,078	0,142	0,118	0,083	●		
S.3.2	0,060	0,050	0,035	0,072	0,060	0,042	0,086	0,072	0,050	0,091	0,076	0,053	0,103	0,086	0,060	●		
S.3.3																		
H.1.1																		
H.1.2																		
H.1.3																		
H.1.4																		
H.2.1																		
H.3.1																		
O.1.1																		
O.1.2																		
O.2.1																		
O.2.2																		
O.3.1																		

Conditions de coupe – S-Cut UNI

Index	Type extra long		52 519 ...														
			Ø DC (mm) =														
			3			4			5			6			8		
			a_s 0,1–0,2 x DC	a_e 0,3–0,4 x DC	a_s 0,6–1,0 x DC	a_e 0,1–0,2 x DC	a_s 0,3–0,4 x DC	a_e 0,6–1,0 x DC	a_e 0,1–0,2 x DC	a_s 0,3–0,4 x DC	a_e 0,6–1,0 x DC	a_s 0,1–0,2 x DC	a_e 0,3–0,4 x DC	a_s 0,6–1,0 x DC	a_e 0,1–0,2 x DC	a_s 0,3–0,4 x DC	a_e 0,6–1,0 x DC
v_c (m/min)	a_p max. x DC	f_z (mm/dt)															
P.1.1	150	1,0	0,022	0,018	0,013	0,030	0,025	0,018	0,040	0,033	0,023	0,052	0,043	0,030	0,061	0,051	0,036
P.1.2	130	1,0	0,022	0,018	0,013	0,030	0,025	0,018	0,040	0,033	0,023	0,052	0,043	0,030	0,061	0,051	0,036
P.1.3	125	1,0	0,022	0,018	0,013	0,030	0,025	0,018	0,040	0,033	0,023	0,052	0,043	0,030	0,061	0,051	0,036
P.1.4	125	1,0	0,022	0,018	0,013	0,030	0,025	0,018	0,040	0,033	0,023	0,052	0,043	0,030	0,061	0,051	0,036
P.1.5	120	1,0	0,022	0,018	0,013	0,030	0,025	0,018	0,040	0,033	0,023	0,052	0,043	0,030	0,061	0,051	0,036
P.2.1	130	1,0	0,022	0,018	0,013	0,030	0,025	0,018	0,040	0,033	0,023	0,052	0,043	0,030	0,061	0,051	0,036
P.2.2	125	1,0	0,014	0,012	0,008	0,022	0,018	0,013	0,031	0,026	0,018	0,042	0,035	0,025	0,053	0,044	0,031
P.2.3	115	1,0	0,022	0,018	0,013	0,030	0,025	0,018	0,040	0,033	0,023	0,052	0,043	0,030	0,061	0,051	0,036
P.2.4	110	1,0	0,014	0,012	0,008	0,022	0,018	0,013	0,031	0,026	0,018	0,042	0,035	0,025	0,053	0,044	0,031
P.3.1	130	1,0	0,022	0,018	0,013	0,030	0,025	0,018	0,040	0,033	0,023	0,052	0,043	0,030	0,061	0,051	0,036
P.3.2	80	1,0	0,022	0,018	0,013	0,030	0,025	0,018	0,040	0,033	0,023	0,052	0,043	0,030	0,061	0,051	0,036
P.3.3	85	1,0	0,022	0,018	0,013	0,030	0,025	0,018	0,040	0,033	0,023	0,052	0,043	0,030	0,061	0,051	0,036
P.4.1	90	1,0	0,012	0,010	0,007	0,017	0,014	0,010	0,023	0,019	0,013	0,029	0,024	0,017	0,037	0,031	0,022
P.4.2	85	1,0	0,012	0,010	0,007	0,017	0,014	0,010	0,023	0,019	0,013	0,029	0,024	0,017	0,037	0,031	0,022
M.1.1	80	1,0	0,012	0,010	0,007	0,017	0,014	0,010	0,023	0,019	0,013	0,029	0,024	0,017	0,037	0,031	0,022
M.2.1	75	1,0	0,012	0,010	0,007	0,017	0,014	0,010	0,023	0,019	0,013	0,029	0,024	0,017	0,037	0,031	0,022
M.3.1	70	1,0	0,012	0,010	0,007	0,017	0,014	0,010	0,023	0,019	0,013	0,029	0,024	0,017	0,037	0,031	0,022
K.1.1	140	1,0	0,032	0,027	0,019	0,038	0,032	0,022	0,054	0,045	0,032	0,068	0,057	0,040	0,084	0,070	0,049
K.1.2	130	1,0	0,032	0,027	0,019	0,038	0,032	0,022	0,054	0,045	0,032	0,068	0,057	0,040	0,084	0,070	0,049
K.2.1	140	1,0	0,025	0,021	0,015	0,030	0,025	0,018	0,040	0,033	0,023	0,052	0,043	0,030	0,061	0,051	0,036
K.2.2	130	1,0	0,025	0,021	0,015	0,030	0,025	0,018	0,040	0,033	0,023	0,052	0,043	0,030	0,061	0,051	0,036
K.3.1	135	1,0	0,025	0,021	0,015	0,030	0,025	0,018	0,040	0,033	0,023	0,052	0,043	0,030	0,061	0,051	0,036
K.3.2	125	1,0	0,025	0,021	0,015	0,030	0,025	0,018	0,040	0,033	0,023	0,052	0,043	0,030	0,061	0,051	0,036
N.1.1																	
N.1.2																	
N.2.1	350	1,0	0,035	0,029	0,020	0,042	0,035	0,025	0,058	0,048	0,034	0,072	0,060	0,042	0,088	0,073	0,051
N.2.2	340	1,0	0,034	0,028	0,020	0,041	0,034	0,024	0,056	0,047	0,033	0,071	0,059	0,041	0,086	0,072	0,050
N.2.3	300	1,0	0,034	0,028	0,020	0,041	0,034	0,024	0,056	0,047	0,033	0,071	0,059	0,041	0,086	0,072	0,050
N.3.1	230	1,0	0,031	0,026	0,018	0,038	0,032	0,022	0,054	0,045	0,032	0,068	0,057	0,040	0,084	0,070	0,049
N.3.2	240	1,0	0,031	0,026	0,018	0,038	0,032	0,022	0,054	0,045	0,032	0,068	0,057	0,040	0,084	0,070	0,049
N.3.3	190	1,0	0,031	0,026	0,018	0,038	0,032	0,022	0,054	0,045	0,032	0,068	0,057	0,040	0,084	0,070	0,049
N.4.1																	
S.1.1	25	1,0	0,008	0,007	0,005	0,011	0,009	0,006	0,016	0,013	0,009	0,020	0,017	0,012	0,025	0,021	0,015
S.1.2	25	1,0	0,008	0,007	0,005	0,011	0,009	0,006	0,016	0,013	0,009	0,020	0,017	0,012	0,025	0,021	0,015
S.2.1	25	1,0	0,008	0,007	0,005	0,011	0,009	0,006	0,016	0,013	0,009	0,020	0,017	0,012	0,025	0,021	0,015
S.2.2	25	1,0	0,008	0,007	0,005	0,011	0,009	0,006	0,016	0,013	0,009	0,020	0,017	0,012	0,025	0,021	0,015
S.2.3	25	1,0	0,008	0,007	0,005	0,011	0,009	0,006	0,016	0,013	0,009	0,020	0,017	0,012	0,025	0,021	0,015
S.3.1	75	1,0	0,002	0,002	0,001	0,023	0,019	0,013	0,032	0,027	0,019	0,043	0,036	0,025	0,054	0,045	0,032
S.3.2	45	1,0	0,011	0,009	0,006	0,013	0,011	0,008	0,019	0,016	0,011	0,026	0,022	0,015	0,032	0,027	0,019
S.3.3																	
H.1.1																	
H.1.2																	
H.1.3																	
H.1.4																	
H.2.1																	
H.3.1																	
O.1.1																	
O.1.2																	
O.2.1																	
O.2.2																	
O.3.1																	

1 Angles de plongée pour le ramping et la plongée hélicoïdale :

Ø 3 = 1°	Ø 10 = 4°
Ø 4 = 1°	Ø 12 = 6°
Ø 5 = 1,5°	Ø 14 = 6°
Ø 6 = 2°	Ø 16 = 8°
Ø 8 = 3°	Ø 20 = 10°

Index	52 519 ...															● 1er choix		
	Ø DC (mm) =															○ Utilisation possible		
	10			12			14			16			20			Emulsion	Air	MMS
	a _e 0,1-0,2 x DC	a _s 0,3-0,4 x DC	a _e 0,6-1,0 x DC	a _e 0,1-0,2 x DC	a _s 0,3-0,4 x DC	a _e 0,6-1,0 x DC	a _e 0,1-0,2 x DC	a _s 0,3-0,4 x DC	a _e 0,6-1,0 x DC	a _e 0,1-0,2 x DC	a _s 0,3-0,4 x DC	a _e 0,6-1,0 x DC	a _e 0,1-0,2 x DC	a _s 0,3-0,4 x DC	a _e 0,6-1,0 x DC			
f _t (mm/dt)																		
P.1.1	0,084	0,070	0,049	0,106	0,088	0,062	0,120	0,100	0,070	0,132	0,110	0,077	0,144	0,120	0,084	●	●	○
P.1.2	0,084	0,070	0,049	0,106	0,088	0,062	0,120	0,100	0,070	0,132	0,110	0,077	0,144	0,120	0,084	●	●	○
P.1.3	0,084	0,070	0,049	0,106	0,088	0,062	0,120	0,100	0,070	0,132	0,110	0,077	0,144	0,120	0,084	●	●	○
P.1.4	0,084	0,070	0,049	0,106	0,088	0,062	0,120	0,100	0,070	0,132	0,110	0,077	0,144	0,120	0,084	●	●	○
P.1.5	0,084	0,070	0,049	0,106	0,088	0,062	0,120	0,100	0,070	0,132	0,110	0,077	0,144	0,120	0,084	●	●	○
P.2.1	0,084	0,070	0,049	0,106	0,088	0,062	0,120	0,100	0,070	0,013	0,011	0,008	0,144	0,120	0,084	●	●	○
P.2.2	0,072	0,060	0,042	0,091	0,076	0,053	0,102	0,085	0,060	0,108	0,090	0,063	0,120	0,100	0,070	●	●	○
P.2.3	0,084	0,070	0,049	0,106	0,088	0,062	0,120	0,100	0,070	0,132	0,110	0,077	0,144	0,120	0,084	●	●	○
P.2.4	0,072	0,060	0,042	0,091	0,076	0,053	0,102	0,085	0,060	0,108	0,090	0,063	0,120	0,100	0,070	●	●	○
P.3.1	0,084	0,070	0,049	0,106	0,088	0,062	0,120	0,100	0,070	0,132	0,110	0,077	0,144	0,120	0,084	●	●	○
P.3.2	0,084	0,070	0,049	0,106	0,088	0,062	0,120	0,100	0,070	0,132	0,110	0,077	0,144	0,120	0,084	●	●	○
P.3.3	0,084	0,070	0,049	0,106	0,088	0,062	0,012	0,010	0,007	0,013	0,011	0,008	0,144	0,120	0,084	●	●	○
P.4.1	0,048	0,040	0,028	0,062	0,052	0,036	0,072	0,060	0,042	0,086	0,072	0,050	0,100	0,083	0,058	●	○	
P.4.2	0,048	0,040	0,028	0,062	0,052	0,036	0,072	0,060	0,042	0,086	0,072	0,050	0,100	0,083	0,058	●	○	
M.1.1	0,048	0,040	0,028	0,062	0,052	0,036	0,072	0,060	0,042	0,086	0,072	0,050	0,100	0,083	0,058	●	○	
M.2.1	0,048	0,040	0,028	0,062	0,052	0,036	0,072	0,060	0,042	0,086	0,072	0,050	0,100	0,083	0,058	●	○	
M.3.1	0,048	0,040	0,028	0,062	0,052	0,036	0,072	0,060	0,042	0,086	0,072	0,050	0,100	0,083	0,058	●	○	
K.1.1	0,114	0,095	0,067	0,144	0,120	0,084	0,168	0,140	0,098	0,192	0,160	0,112	0,204	0,170	0,119	●	●	●
K.1.2	0,114	0,095	0,067	0,144	0,120	0,084	0,168	0,140	0,098	0,192	0,160	0,112	0,204	0,170	0,119	●	●	●
K.2.1	0,084	0,070	0,049	0,104	0,087	0,061	0,120	0,100	0,070	0,144	0,120	0,084	0,156	0,130	0,091	●	●	●
K.2.2	0,084	0,070	0,049	0,104	0,087	0,061	0,120	0,100	0,070	0,144	0,120	0,084	0,156	0,130	0,091	●	●	●
K.3.1	0,084	0,070	0,049	0,104	0,087	0,061	0,120	0,100	0,070	0,144	0,120	0,084	0,156	0,130	0,091	●	●	●
K.3.2	0,084	0,070	0,049	0,104	0,087	0,061	0,120	0,100	0,070	0,144	0,120	0,084	0,156	0,130	0,091	●	●	●
N.1.1																		
N.1.2																		
N.2.1	0,116	0,097	0,068	0,158	0,132	0,092	0,174	0,145	0,102	0,204	0,170	0,119	0,216	0,180	0,126	●	●	
N.2.2	0,115	0,096	0,067	0,152	0,127	0,089	0,168	0,140	0,098	0,198	0,165	0,116	0,210	0,175	0,123	●	●	
N.2.3	0,115	0,096	0,067	0,152	0,127	0,089	0,017	0,014	0,010	0,198	0,165	0,116	0,210	0,175	0,123	●	●	
N.3.1	0,114	0,095	0,067	0,140	0,117	0,082	0,162	0,135	0,095	0,192	0,160	0,112	0,204	0,170	0,119	●	●	
N.3.2	0,114	0,095	0,067	0,140	0,117	0,082	0,162	0,135	0,095	0,192	0,160	0,112	0,204	0,170	0,119	●	●	
N.3.3	0,114	0,095	0,067	0,140	0,117	0,082	0,162	0,135	0,095	0,192	0,160	0,112	0,204	0,170	0,119	●	●	
N.4.1																		
S.1.1	0,035	0,029	0,020	0,044	0,037	0,026	0,054	0,045	0,032	0,064	0,053	0,037	0,068	0,057	0,040	●		
S.1.2	0,035	0,029	0,020	0,044	0,037	0,026	0,054	0,045	0,032	0,064	0,053	0,037	0,068	0,057	0,040	●		
S.2.1	0,035	0,029	0,020	0,044	0,037	0,026	0,054	0,045	0,032	0,064	0,053	0,037	0,068	0,057	0,040	●		
S.2.2	0,035	0,029	0,020	0,044	0,037	0,026	0,054	0,045	0,032	0,064	0,053	0,037	0,068	0,057	0,040	●		
S.2.3	0,035	0,029	0,020	0,044	0,037	0,026	0,054	0,045	0,032	0,064	0,053	0,037	0,068	0,057	0,040	●		
S.3.1	0,073	0,061	0,043	0,092	0,077	0,054	0,110	0,092	0,064	0,120	0,100	0,070	0,134	0,112	0,078	●		
S.3.2	0,047	0,039	0,027	0,060	0,050	0,035	0,072	0,060	0,042	0,086	0,072	0,050	0,091	0,076	0,053	●		
S.3.3																		
H.1.1																		
H.1.2																		
H.1.3																		
H.1.4																		
H.2.1																		
H.3.1																		
O.1.1																		
O.1.2																		
O.2.1																		
O.2.2																		
O.3.1																		

Conditions de coupe – S-Cut UNI – Fraisage dynamique

Index	Type long		52 521 ...															
	v _c (m/min)	Angle maximal d'engagement	Ø DC (mm) =															
			6				8				10				12			
			a _{se} 0,05 x DC	a _{se} 0,1 x DC	a _{se} 0,15 x DC	h _m	a _{se} 0,05 x DC	a _{se} 0,1 x DC	a _{se} 0,15 x DC	h _m	a _{se} 0,05 x DC	a _{se} 0,1 x DC	a _{se} 0,15 x DC	h _m	a _{se} 0,05 x DC	a _{se} 0,1 x DC	a _{se} 0,15 x DC	h _m
f _z (mm/dt)				f _z (mm/dt)				f _z (mm/dt)				f _z (mm/dt)						
P.1.1	300	45°	0,11	0,09	0,07	0,028	0,14	0,11	0,08	0,035	0,16	0,13	0,10	0,041	0,19	0,15	0,11	0,047
P.1.2	300	45°	0,09	0,07	0,05	0,022	0,11	0,09	0,07	0,028	0,14	0,11	0,08	0,035	0,16	0,13	0,10	0,041
P.1.3	290	45°	0,09	0,07	0,05	0,022	0,11	0,09	0,07	0,028	0,14	0,11	0,08	0,035	0,16	0,13	0,10	0,041
P.1.4	280	45°	0,09	0,07	0,05	0,022	0,11	0,09	0,07	0,028	0,14	0,11	0,08	0,035	0,16	0,13	0,10	0,041
P.1.5	250	45°	0,09	0,07	0,05	0,022	0,11	0,09	0,07	0,028	0,14	0,11	0,08	0,035	0,16	0,13	0,10	0,041
P.2.1	280	45°	1,13	0,90	0,68	0,285	0,14	0,11	0,08	0,035	0,16	0,13	0,10	0,041	0,19	0,15	0,11	0,047
P.2.2	270	45°	1,13	0,90	0,68	0,285	0,14	0,11	0,08	0,035	0,16	0,13	0,10	0,041	0,19	0,15	0,11	0,047
P.2.3	240	45°	0,09	0,07	0,05	0,022	0,11	0,09	0,07	0,028	0,14	0,11	0,08	0,035	0,16	0,13	0,10	0,041
P.2.4	210	45°	0,09	0,07	0,05	0,022	0,11	0,09	0,07	0,028	0,14	0,11	0,08	0,035	0,16	0,13	0,10	0,041
P.3.1	230	45°	0,09	0,07	0,05	0,022	0,11	0,09	0,07	0,028	0,14	0,11	0,08	0,035	0,16	0,13	0,10	0,041
P.3.2	210	40°	0,09	0,07	0,05	0,022	0,11	0,09	0,07	0,028	0,14	0,11	0,08	0,035	0,16	0,13	0,10	0,041
P.3.3	190	40°	0,09	0,07	0,05	0,022	0,11	0,09	0,07	0,028	0,14	0,11	0,08	0,035	0,16	0,13	0,10	0,041
P.4.1	180	40°	0,08	0,06	0,05	0,019	0,09	0,07	0,05	0,022	0,11	0,09	0,07	0,028	0,13	0,10	0,08	0,032
P.4.2	170	40°	0,08	0,06	0,05	0,019	0,09	0,07	0,05	0,022	0,11	0,09	0,07	0,028	0,13	0,10	0,08	0,032
M.1.1	160	40°	0,08	0,06	0,05	0,019	0,09	0,07	0,05	0,022	0,11	0,09	0,07	0,028	0,13	0,10	0,08	0,032
M.2.1	160	40°	0,08	0,06	0,05	0,019	0,09	0,07	0,05	0,022	0,11	0,09	0,07	0,028	0,13	0,10	0,08	0,032
M.3.1	150	40°	0,08	0,06	0,05	0,019	0,09	0,07	0,05	0,022	0,11	0,09	0,07	0,028	0,13	0,10	0,08	0,032
K.1.1	300	50°	0,11	0,09	0,07	0,028	0,14	0,11	0,08	0,035	0,16	0,13	0,10	0,041	0,19	0,15	0,11	0,047
K.1.2	300	50°	0,11	0,09	0,07	0,028	0,14	0,11	0,08	0,035	0,16	0,13	0,10	0,041	0,19	0,15	0,11	0,047
K.2.1	300	50°	0,11	0,09	0,07	0,028	0,14	0,11	0,08	0,035	0,16	0,13	0,10	0,041	0,19	0,15	0,11	0,047
K.2.2	270	50°	0,09	0,07	0,05	0,022	0,11	0,09	0,07	0,028	0,14	0,11	0,08	0,035	0,16	0,13	0,10	0,041
K.3.1	260	50°	0,09	0,07	0,05	0,022	0,11	0,09	0,07	0,028	0,14	0,11	0,08	0,035	0,16	0,13	0,10	0,041
K.3.2	200	50°	0,09	0,07	0,05	0,022	0,11	0,09	0,07	0,028	0,14	0,11	0,08	0,035	0,16	0,13	0,10	0,041
N.1.1																		
N.1.2																		
N.2.1	420	55°	0,13	0,10	0,08	0,032	0,14	0,11	0,08	0,035	0,15	0,12	0,09	0,038	0,18	0,14	0,11	0,044
N.2.2	320	55°	0,13	0,10	0,08	0,032	0,14	0,11	0,08	0,035	0,15	0,12	0,09	0,038	0,18	0,14	0,11	0,044
N.2.3	250	55°	0,11	0,09	0,07	0,028	0,13	0,10	0,08	0,032	0,14	0,11	0,08	0,035	0,16	0,13	0,10	0,041
N.3.1	300	50°	0,10	0,08	0,06	0,025	0,11	0,09	0,07	0,028	0,13	0,10	0,08	0,032	0,15	0,12	0,09	0,038
N.3.2	190	50°	0,10	0,08	0,06	0,025	0,11	0,09	0,07	0,028	0,13	0,10	0,08	0,032	0,15	0,12	0,09	0,038
N.3.3	270	50°	0,09	0,07	0,05	0,022	0,10	0,08	0,06	0,025	0,11	0,09	0,07	0,028	0,14	0,11	0,08	0,035
N.4.1																		
S.1.1	90	35°	0,04	0,03	0,02	0,009	0,05	0,04	0,03	0,013	0,06	0,05	0,04	0,016	0,08	0,06	0,05	0,019
S.1.2	90	35°	0,04	0,03	0,02	0,009	0,05	0,04	0,03	0,013	0,06	0,05	0,04	0,016	0,08	0,06	0,05	0,019
S.2.1	70	35°	0,04	0,03	0,02	0,009	0,05	0,04	0,03	0,013	0,06	0,05	0,04	0,016	0,08	0,06	0,05	0,019
S.2.2	70	35°	0,04	0,03	0,02	0,009	0,05	0,04	0,03	0,013	0,06	0,05	0,04	0,016	0,08	0,06	0,05	0,019
S.2.3																		
S.3.1	135	35°	0,04	0,04	0,03	0,011	0,08	0,06	0,05	0,019	0,09	0,07	0,05	0,022	0,11	0,09	0,07	0,028
S.3.2	105	35°	0,05	0,04	0,03	0,013	0,08	0,06	0,05	0,019	0,09	0,07	0,05	0,022	0,11	0,09	0,07	0,028
S.3.3																		
H.1.1																		
H.1.2																		
H.1.3																		
H.1.4																		
H.2.1																		
H.3.1																		
O.1.1																		
O.1.2																		
O.2.1																		
O.2.2																		
O.3.1																		

Index	52 521 ...																● 1er choix		
	Ø DC (mm) =																○ Utilisation possible		
	14				16				18				20				Emulsion	Air	MMS
	a_s 0,05 x DC	a_s 0,1 x DC	a_s 0,15 x DC	h_m	a_s 0,05 x DC	a_s 0,1 x DC	a_s 0,15 x DC	h_m	a_s 0,05 x DC	a_s 0,1 x DC	a_s 0,15 x DC	h_m	a_s 0,05 x DC	a_s 0,1 x DC	a_s 0,15 x DC	h_m			
f_z (mm/dt)				f_z (mm/dt)				f_z (mm/dt)				f_z (mm/dt)							
P.1.1	0,21	0,17	0,13	0,054	0,23	0,18	0,14	0,057	0,24	0,19	0,14	0,060	0,25	0,20	0,15	0,063	○	●	○
P.1.2	0,19	0,15	0,11	0,047	0,21	0,17	0,13	0,054	0,21	0,17	0,13	0,054	0,24	0,19	0,14	0,060	○	●	○
P.1.3	0,19	0,15	0,11	0,047	0,21	0,17	0,13	0,054	0,21	0,17	0,13	0,054	0,24	0,19	0,14	0,060	○	●	○
P.1.4	0,19	0,15	0,11	0,047	0,21	0,17	0,13	0,054	0,21	0,17	0,13	0,054	0,24	0,19	0,14	0,060	○	●	○
P.1.5	0,19	0,15	0,11	0,047	0,21	0,17	0,13	0,054	0,21	0,17	0,13	0,054	0,24	0,19	0,14	0,060	○	●	○
P.2.1	0,21	0,17	0,13	0,054	0,23	0,18	0,14	0,057	0,24	0,19	0,14	0,060	0,25	0,20	0,15	0,063	○	●	○
P.2.2	0,21	0,17	0,13	0,054	0,23	0,18	0,14	0,057	0,24	0,19	0,14	0,060	0,25	0,20	0,15	0,063	○	●	○
P.2.3	0,19	0,15	0,11	0,047	0,21	0,17	0,13	0,054	0,21	0,17	0,13	0,054	0,24	0,19	0,14	0,060	○	●	○
P.2.4	0,19	0,15	0,11	0,047	0,21	0,17	0,13	0,054	0,21	0,17	0,13	0,054	0,24	0,19	0,14	0,060	○	●	○
P.3.1	0,19	0,15	0,11	0,047	0,21	0,17	0,13	0,054	0,21	0,17	0,13	0,054	0,24	0,19	0,14	0,060	○	●	○
P.3.2	0,19	0,15	0,11	0,047	0,21	0,17	0,13	0,054	0,21	0,17	0,13	0,054	0,24	0,19	0,14	0,060	○	●	○
P.3.3	0,19	0,15	0,11	0,047	0,21	0,17	0,13	0,054	0,21	0,17	0,13	0,054	0,24	0,19	0,14	0,060	○	●	○
P.4.1	0,15	0,12	0,09	0,038	0,15	0,12	0,09	0,038	0,16	0,13	0,10	0,041	0,18	0,14	0,11	0,044	●		
P.4.2	0,15	0,12	0,09	0,038	0,15	0,12	0,09	0,038	0,16	0,13	0,10	0,041	0,18	0,14	0,11	0,044	●		
M.1.1	0,15	0,12	0,09	0,038	0,15	0,12	0,09	0,038	0,16	0,13	0,10	0,041	0,18	0,14	0,11	0,044	●		
M.2.1	0,15	0,12	0,09	0,038	0,15	0,12	0,09	0,038	0,16	0,13	0,10	0,041	0,18	0,14	0,11	0,044	●		
M.3.1	0,15	0,12	0,09	0,038	0,15	0,12	0,09	0,038	0,16	0,13	0,10	0,041	0,18	0,14	0,11	0,044	●		
K.1.1	0,21	0,17	0,13	0,054	0,23	0,18	0,14	0,057	0,24	0,19	0,14	0,060	0,25	0,20	0,15	0,063	○	●	○
K.1.2	0,21	0,17	0,13	0,054	0,23	0,18	0,14	0,057	0,24	0,19	0,14	0,060	0,25	0,20	0,15	0,063	○	●	○
K.2.1	0,21	0,17	0,13	0,054	0,23	0,18	0,14	0,057	0,24	0,19	0,14	0,060	0,25	0,20	0,15	0,063	○	●	○
K.2.2	0,19	0,15	0,11	0,047	0,21	0,17	0,13	0,054	0,23	0,18	0,14	0,057	0,24	0,19	0,14	0,060	○	●	○
K.3.1	0,19	0,15	0,11	0,047	0,21	0,17	0,13	0,054	0,23	0,18	0,14	0,057	0,24	0,19	0,14	0,060	○	●	○
K.3.2	0,19	0,15	0,11	0,047	0,21	0,17	0,13	0,054	0,23	0,18	0,14	0,057	0,24	0,19	0,14	0,060	○	●	○
N.1.1																			
N.1.2																			
N.2.1	0,20	0,16	0,12	0,051	0,23	0,18	0,14	0,057	0,25	0,20	0,15	0,063	0,28	0,22	0,17	0,070	●	●	
N.2.2	0,20	0,16	0,12	0,051	0,23	0,18	0,14	0,057	0,25	0,20	0,15	0,063	0,28	0,22	0,17	0,070	●	●	
N.2.3	0,19	0,15	0,11	0,047	0,21	0,17	0,13	0,054	0,24	0,19	0,14	0,060	0,26	0,21	0,16	0,066	●	●	
N.3.1	0,18	0,14	0,11	0,044	0,20	0,16	0,12	0,051	0,23	0,18	0,14	0,057	0,25	0,20	0,15	0,063	●	●	
N.3.2	0,18	0,14	0,11	0,044	0,20	0,16	0,12	0,051	0,23	0,18	0,14	0,057	0,25	0,20	0,15	0,063	●	●	
N.3.3	0,16	0,13	0,10	0,041	0,19	0,15	0,11	0,047	0,21	0,17	0,13	0,054	0,24	0,19	0,14	0,060	●	●	
N.4.1																			
S.1.1	0,10	0,08	0,06	0,025	0,11	0,09	0,07	0,028	0,13	0,10	0,08	0,032	0,14	0,11	0,08	0,035	●		
S.1.2	0,10	0,08	0,06	0,025	0,11	0,09	0,07	0,028	0,13	0,10	0,08	0,032	0,14	0,11	0,08	0,035	●		
S.2.1	0,10	0,08	0,06	0,025	0,11	0,09	0,07	0,028	0,13	0,10	0,08	0,032	0,14	0,11	0,08	0,035	●		
S.2.2	0,10	0,08	0,06	0,025	0,11	0,09	0,07	0,028	0,13	0,10	0,08	0,032	0,14	0,11	0,08	0,035	●		
S.2.3																			
S.3.1	0,13	0,10	0,08	0,032	0,14	0,11	0,08	0,035	0,15	0,12	0,09	0,038	0,15	0,12	0,09	0,038	●		
S.3.2	0,13	0,10	0,08	0,032	0,14	0,11	0,08	0,035	0,15	0,12	0,09	0,038	0,15	0,12	0,09	0,038	●		
S.3.3																			
H.1.1																			
H.1.2																			
H.1.3																			
H.1.4																			
H.2.1																			
H.3.1																			
O.1.1																			
O.1.2																			
O.2.1																			
O.2.2																			
O.3.1																			

Conditions de coupe – S-Cut UNI

Index	Type long v _c (m/min) a _{p,max.} x DC		52 522 ..., 52 523 ...															
			Ø DC (mm) =															
			3		4		5		6		8		10		12		14	
			a _e 0,3-0,4 x DC	a _e 0,6-1,0 x DC	a _e 0,3-0,4 x DC	a _e 0,6-1,0 x DC	a _e 0,3-0,4 x DC	a _e 0,6-1,0 x DC	a _e 0,3-0,4 x DC	a _e 0,6-1,0 x DC	a _e 0,3-0,4 x DC	a _e 0,6-1,0 x DC	a _e 0,3-0,4 x DC	a _e 0,6-1,0 x DC	a _e 0,3-0,4 x DC	a _e 0,6-1,0 x DC	a _e 0,3-0,4 x DC	a _e 0,6-1,0 x DC
f _t (mm/dt)																		
P.1.1	210	2.0	0.026	0.019	0.034	0.024	0.042	0.030	0.049	0.035	0.066	0.047	0.081	0.058	0.098	0.070	0.113	0.081
P.1.2	200	2.0	0.026	0.019	0.034	0.024	0.042	0.030	0.049	0.035	0.066	0.047	0.081	0.058	0.098	0.070	0.113	0.081
P.1.3	200	2.0	0.026	0.019	0.034	0.024	0.042	0.030	0.049	0.035	0.066	0.047	0.081	0.058	0.098	0.070	0.113	0.081
P.1.4	190	2.0	0.026	0.019	0.034	0.024	0.042	0.030	0.049	0.035	0.066	0.047	0.081	0.058	0.098	0.070	0.113	0.081
P.1.5	190	2.0	0.026	0.019	0.034	0.024	0.042	0.030	0.049	0.035	0.066	0.047	0.081	0.058	0.098	0.070	0.113	0.081
P.2.1	200	2.0	0.026	0.019	0.034	0.024	0.042	0.030	0.049	0.035	0.066	0.047	0.081	0.058	0.098	0.070	0.113	0.081
P.2.2	190	2.0	0.020	0.014	0.027	0.019	0.034	0.025	0.042	0.030	0.056	0.040	0.070	0.050	0.084	0.060	0.098	0.070
P.2.3	180	2.0	0.026	0.019	0.034	0.024	0.042	0.030	0.049	0.035	0.066	0.047	0.081	0.058	0.098	0.070	0.113	0.081
P.2.4	170	2.0	0.020	0.014	0.027	0.019	0.034	0.025	0.042	0.030	0.056	0.040	0.070	0.050	0.084	0.060	0.098	0.070
P.3.1	180	2.0	0.026	0.019	0.034	0.024	0.042	0.030	0.049	0.035	0.066	0.047	0.081	0.058	0.098	0.070	0.113	0.081
P.3.2	170	2.0	0.026	0.019	0.034	0.024	0.042	0.030	0.049	0.035	0.066	0.047	0.081	0.058	0.098	0.070	0.113	0.081
P.3.3	140	2.0	0.026	0.019	0.034	0.024	0.042	0.030	0.049	0.035	0.066	0.047	0.081	0.058	0.098	0.070	0.113	0.081
P.4.1	95	1.5	0.012	0.009	0.017	0.012	0.022	0.016	0.027	0.019	0.036	0.026	0.046	0.033	0.056	0.040	0.066	0.047
P.4.2	85	1.5	0.012	0.009	0.017	0.012	0.022	0.016	0.027	0.019	0.036	0.026	0.046	0.033	0.056	0.040	0.066	0.047
M.1.1	95	1.5	0.012	0.009	0.017	0.012	0.022	0.016	0.027	0.019	0.036	0.026	0.046	0.033	0.056	0.040	0.066	0.047
M.2.1	95	1.5	0.012	0.009	0.017	0.012	0.022	0.016	0.027	0.019	0.036	0.026	0.046	0.033	0.056	0.040	0.066	0.047
M.3.1	95	1.5	0.012	0.009	0.017	0.012	0.022	0.016	0.027	0.019	0.036	0.026	0.046	0.033	0.056	0.040	0.066	0.047
K.1.1	200	2.0	0.031	0.022	0.039	0.028	0.048	0.034	0.056	0.040	0.074	0.053	0.091	0.065	0.108	0.077	0.126	0.090
K.1.2	180	2.0	0.031	0.022	0.039	0.028	0.048	0.034	0.056	0.040	0.074	0.053	0.091	0.065	0.108	0.077	0.126	0.090
K.2.1	190	2.0	0.026	0.019	0.034	0.024	0.042	0.030	0.049	0.035	0.066	0.047	0.081	0.058	0.098	0.070	0.113	0.081
K.2.2	170	2.0	0.026	0.019	0.034	0.024	0.042	0.030	0.049	0.035	0.066	0.047	0.081	0.058	0.098	0.070	0.113	0.081
K.3.1	180	2.0	0.026	0.019	0.034	0.024	0.042	0.030	0.049	0.035	0.066	0.047	0.081	0.058	0.098	0.070	0.113	0.081
K.3.2	160	2.0	0.026	0.019	0.034	0.024	0.042	0.030	0.049	0.035	0.066	0.047	0.081	0.058	0.098	0.070	0.113	0.081
N.1.1																		
N.1.2																		
N.2.1																		
N.2.2																		
N.2.3																		
N.3.1	350	2.0	0.031	0.022	0.039	0.028	0.048	0.034	0.056	0.040	0.074	0.053	0.091	0.065	0.108	0.077	0.126	0.090
N.3.2	350	2.0	0.031	0.022	0.039	0.028	0.048	0.034	0.056	0.040	0.074	0.053	0.091	0.065	0.108	0.077	0.126	0.090
N.3.3	280	2.0	0.031	0.022	0.039	0.028	0.048	0.034	0.056	0.040	0.074	0.053	0.091	0.065	0.108	0.077	0.126	0.090
N.4.1																		
S.1.1																		
S.1.2																		
S.2.1																		
S.2.2																		
S.2.3																		
S.3.1																		
S.3.2																		
S.3.3																		
H.1.1																		
H.1.2																		
H.1.3																		
H.1.4																		
H.2.1																		
H.3.1																		
O.1.1																		
O.1.2																		
O.2.1																		
O.2.2																		
O.3.1																		

 Evitez si possible une utilisation avec un a_e < 0,3xDC !

 Angle de plongée pour ramping ou interpolation circulaire = 3°

Index	52 522 ..., 52 523 ...						● 1er choix ○ Utilisation possible		
	Ø DC (mm) =						Emulsion	Air	MMS
	16		18		20				
	a_e 0,3-0,4 x DC	a_e 0,6-1,0 x DC	a_e 0,3-0,4 x DC	a_e 0,6-1,0 x DC	a_e 0,3-0,4 x DC	a_e 0,6-1,0 x DC			
f_c (mm/dt)									
P.1.1	0.121	0.087	0.129	0.092	0.137	0.098	●	○	○
P.1.2	0.121	0.087	0.129	0.092	0.137	0.098	●	○	○
P.1.3	0.121	0.087	0.129	0.092	0.137	0.098	●	○	○
P.1.4	0.121	0.087	0.129	0.092	0.137	0.098	●	○	○
P.1.5	0.121	0.087	0.129	0.092	0.137	0.098	●	○	○
P.2.1	0.121	0.087	0.129	0.092	0.137	0.098	●	○	○
P.2.2	0.105	0.075	0.112	0.080	0.119	0.085	●	○	○
P.2.3	0.121	0.087	0.129	0.092	0.137	0.098	●	○	○
P.2.4	0.105	0.075	0.112	0.080	0.119	0.085	●	○	○
P.3.1	0.121	0.087	0.129	0.092	0.137	0.098	●	○	○
P.3.2	0.121	0.087	0.129	0.092	0.137	0.098	●	○	○
P.3.3	0.121	0.087	0.129	0.092	0.137	0.098	●	○	○
P.4.1	0.071	0.051	0.076	0.054	0.081	0.058	●		
P.4.2	0.071	0.051	0.076	0.054	0.081	0.058	●		
M.1.1	0.071	0.051	0.076	0.054	0.081	0.058	●		
M.2.1	0.071	0.051	0.076	0.054	0.081	0.058	●		
M.3.1	0.071	0.051	0.076	0.054	0.081	0.058	●		
K.1.1	0.134	0.096	0.143	0.102	0.151	0.108	●	●	●
K.1.2	0.134	0.096	0.143	0.102	0.151	0.108	●	●	●
K.2.1	0.121	0.087	0.129	0.092	0.137	0.098	●	●	●
K.2.2	0.121	0.087	0.129	0.092	0.137	0.098	●	●	●
K.3.1	0.121	0.087	0.129	0.092	0.137	0.098	●	●	●
K.3.2	0.121	0.087	0.129	0.092	0.137	0.098	●	●	●
N.1.1									
N.1.2									
N.2.1									
N.2.2									
N.2.3									
N.3.1	0.134	0.096	0.143	0.102	0.151	0.108	●	○	○
N.3.2	0.134	0.096	0.143	0.102	0.151	0.108	●	○	○
N.3.3	0.134	0.096	0.143	0.102	0.151	0.108	●	○	○
N.4.1									
S.1.1									
S.1.2									
S.2.1									
S.2.2									
S.2.3									
S.3.1									
S.3.2									
S.3.3									
H.1.1									
H.1.2									
H.1.3									
H.1.4									
H.2.1									
H.3.1									
O.1.1									
O.1.2									
O.2.1									
O.2.2									
O.3.1									



**DES COMPOSANTS COMPLEXES.
UN USINAGE DE PRÉCISION.**

**C'EST
NOTRE
TRUC**



**FAIRE ÉVOLUER ENSEMBLE L'USINAGE.
CONSEILS SIMPLES ET UTILES.**

**DE FAIBLES QUANTITÉS.
EXPÉDIÉES DE SUITE.**

www.cest-notre-truc.fr



THE Cutting Tool Solution

CERATIZIT France SAS
Rue Saint Simon 8 \ 95041 Cergy-Pontoise Cedex
Tel.: +33 1 34 20 14 40
info.france@ceratizit.com \ www.ceratizit.com



Part of the Plansee Group